

50
Народный Комиссариат Здравоохранения
Издательский Отдел.

В. С. Груздев

Профессор Казанского Университета

АТЛАС РИСУНКОВ

к I части

КУРСА АКУШЕРСТВА И ЖЕНСКИХ БОЛЕЗНЕЙ

Анатомия и физиология женской половой сферы



МОСКВА
1922.

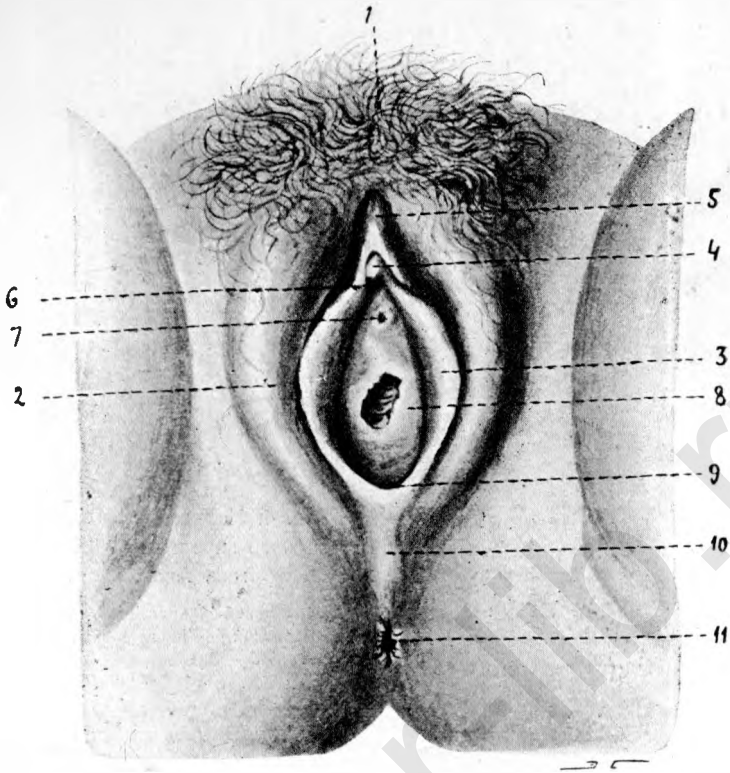


Рис. 1. Общий вид наружных половых частей взрослой женщины (девушки) (по преп. Анат. Инст. Каз. Ун.).

1—Лобок. 2—Большая половая губа. 3—Малая губа. 4—Клиитор. 5—Крайняя плоть клитора. 6—Уздечка клитора. 7—Наружное отверстие мочеиспускательного протока. 8—Девственная плева. 9—Задняя спайка. 10—Шов промежности. 11—Заднепроходное отверстие.

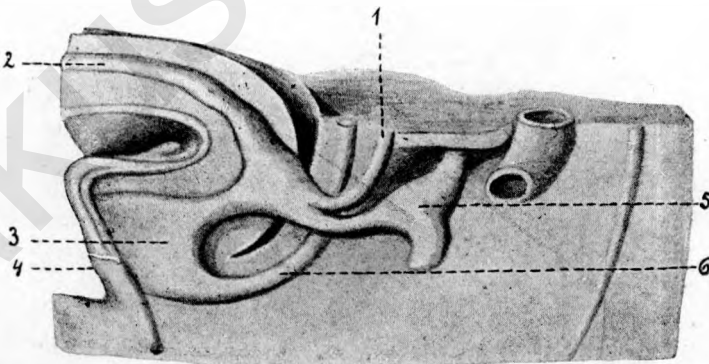


Рис. 2. Клоака и соединенные с нею части у человеческого зародыша в $11\frac{1}{2}$ милл. длины (по мод. Анат. Инст. Каз. Ун.).

1—Wolff'ов ход. 2—Allantois. 3—Клоака. 4—Клоачная перепонка. 5—Почечная лоханка. 6—Кишка.

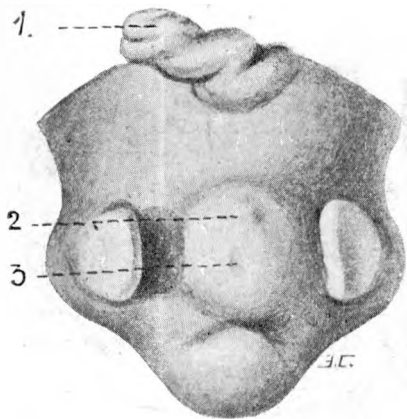


Рис. 3. Нижний конец тела человеческого зародыша в 13 милл. длины (по мод. Анат. Инст. Каз. Ун.).

1—Пуповина. 2—Половой бугорок. 3—Клоачная щель (клоачная перепонка).

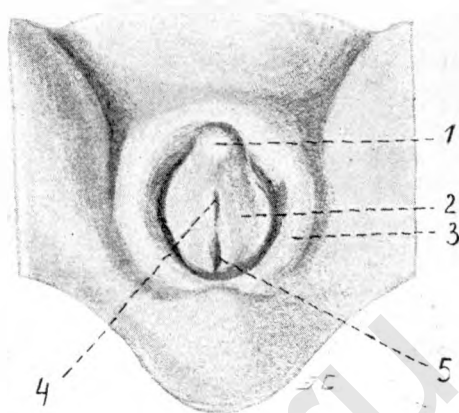


Рис. 4. Наружные половые части человеческого зародыша в 21 милл. длины (по мод. Анат. Инст. Каз. Ун.).

1—Половой бугорок. 2—Половая складка. 3—Половой валик. 4—Мочеполовое отверстие клоачной щели. 5—Заднепроходное отверстие клоачной щели.



Рис. 5. Наружные половые части 18-недельного чело. зародыша женск. пола (по мод. Анат. Инст. Каз. Ун.).

1—Клиитор. 2—Большая половая губа. 3—Малая половая губа. 4—Отверстие мочеполовой пазухи. 5—Заднепроходное отверстие.

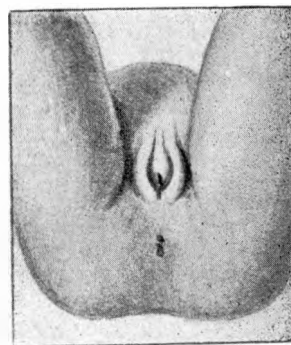


Рис. 6. Наружные половые части человеческого зародыша женского пола в 18,5 сант. длины *.

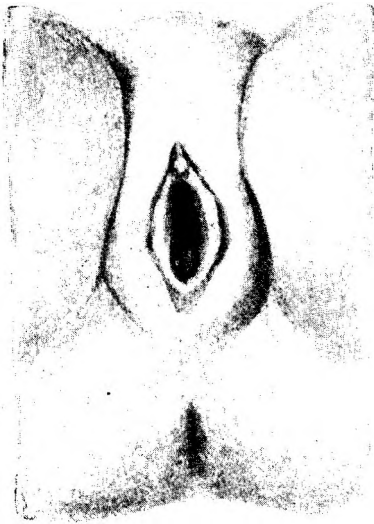


Рис. 7. Наружные половые части новорожденной девочки *.

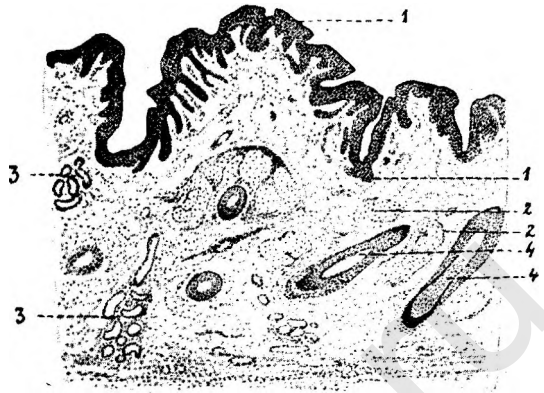


Рис. 8. Покров больших половых губ у взрослой женщины, при микроскопическом исследовании.

1,1 — Покровный эпителий. 2,2 — Сальные железы.
3,3 — Потовые железы. 4,4 — Волосы.

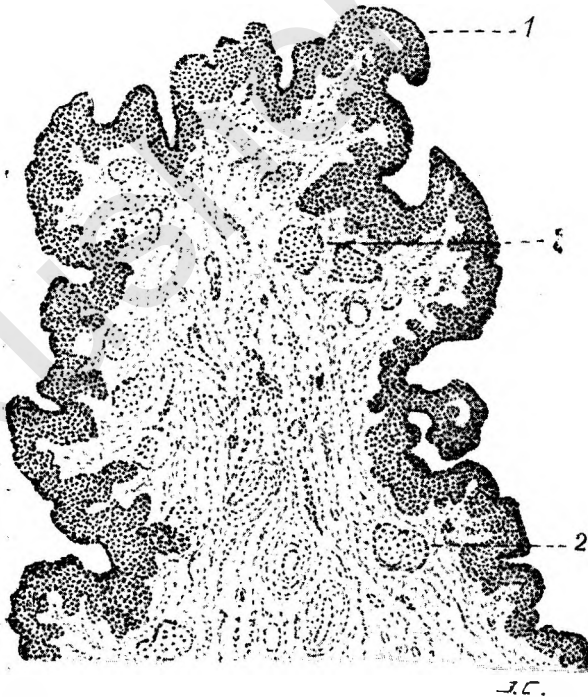


Рис. 9. Срез через малую половую губу взрослой женщины *.

1 — Покровный эпителий. 2,2 — Сальные железы.

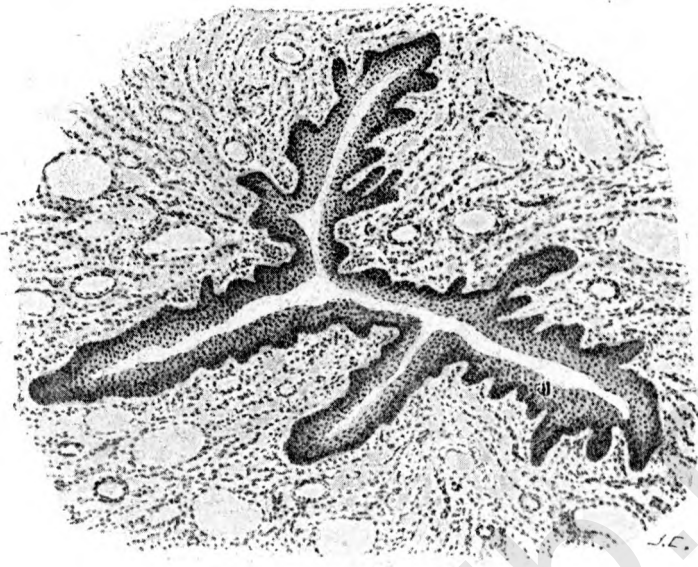


Рис. 10. Поперечный срез через мочеиспускательный проток взрослой женщины*.

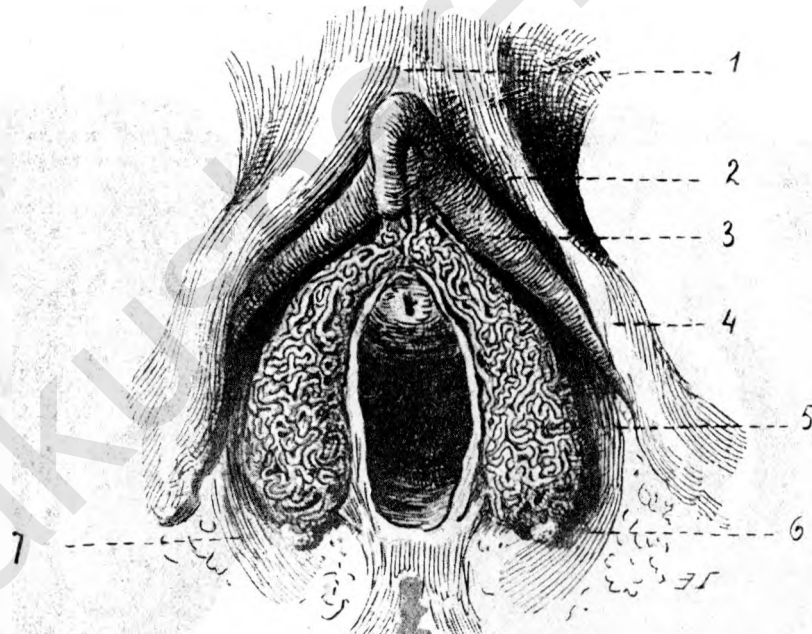


Рис. 11. Преддверие влагалища (по преп. Анаг. Инст. Каз. Ун.).

- 1—Lig. suspensorium clitoridis. 2—Клитор. 3—Crus clitoridis. 4—Musc. ischio-cavernosus.
5—Луковица преддверия. 6—Bartolin'ова железа. 7—Musc. bulbo-cavernosus.

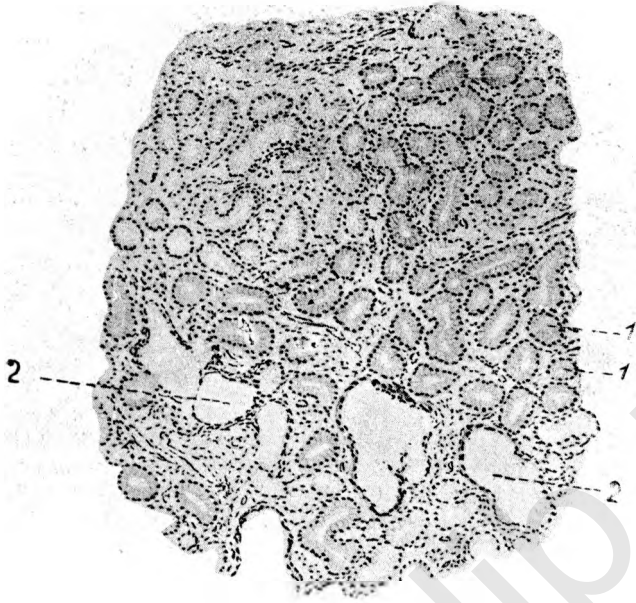


Рис. 12. Микроскопический срез через ткань *Bartolin'*овой железы у взрослой женщины*.

1,1—Спавшиеся альвеолы железы. 2,2—Альвеолы, наполненные слизью.

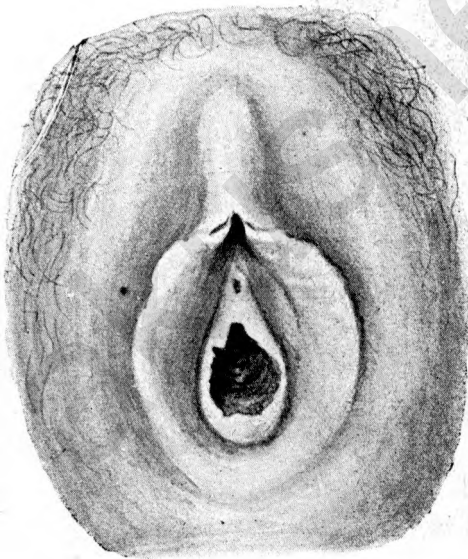


Рис. 13. Нумен annularis (по преп. Суд.-мед. Каб. Каз. Ун.).

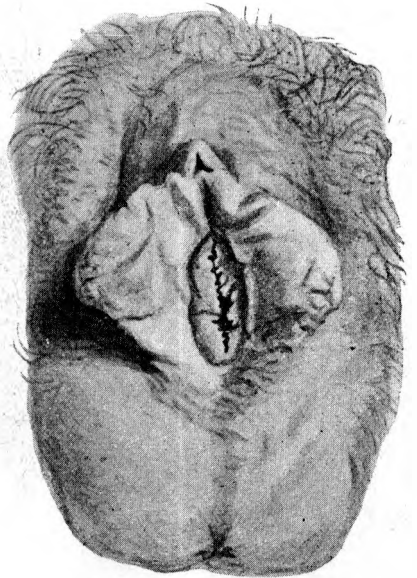


Рис. 14. Нумен fimbriatus (по преп. Суд.-мед. Каб. Каз. Ун.).

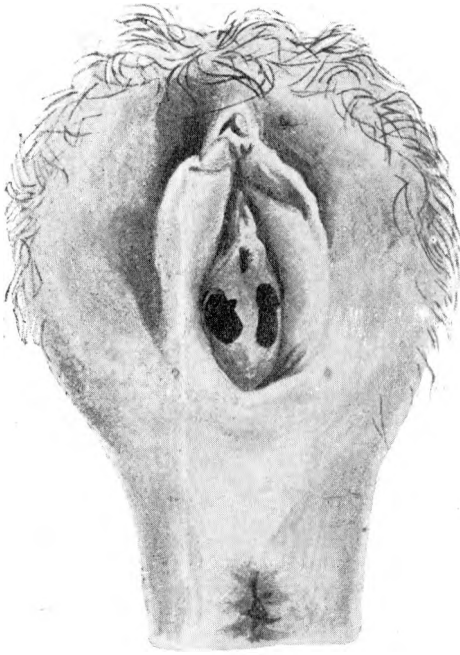


Рис. 15. Hymen bifenestratus (по преп. Судмед. Каб. Каз. Ун.).

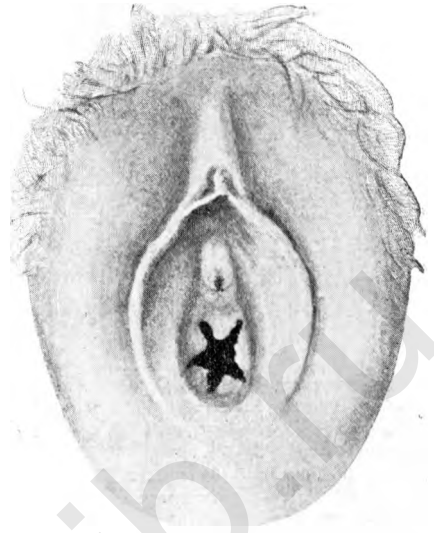


Рис. 16. Девственная плева женщины, имевшей половые сношения, но не рожавшей (по Губареву).

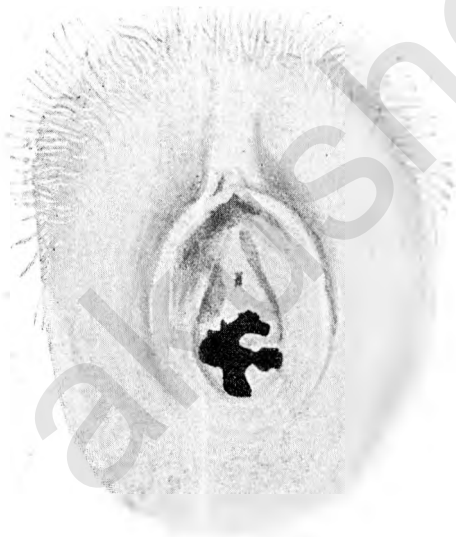


Рис. 17. Девственная плева женщины, рожавшей один раз (по Губареву).

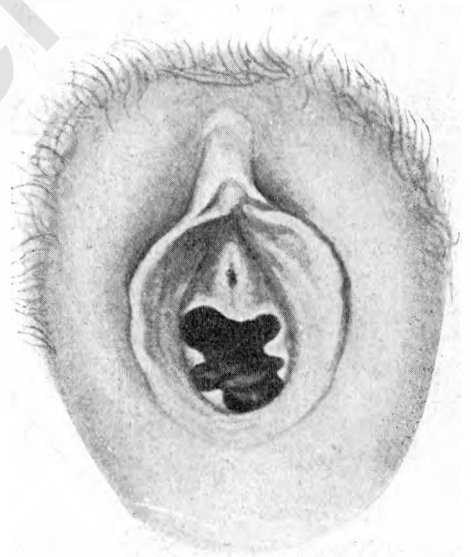


Рис. 18. Carunculae myrtiformes. у многорожавшей женщины (по Губареву).

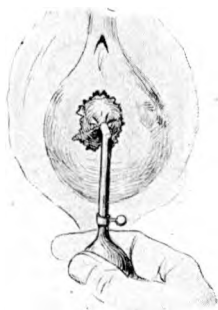


Рис 19. Исследование девственной плевы по Мержеевскому.

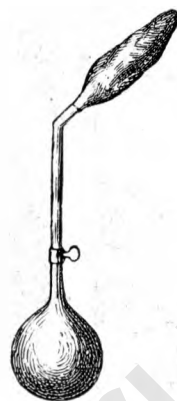


Рис. 20. Прибор для исследования девственной плевы по Мержеевскому.

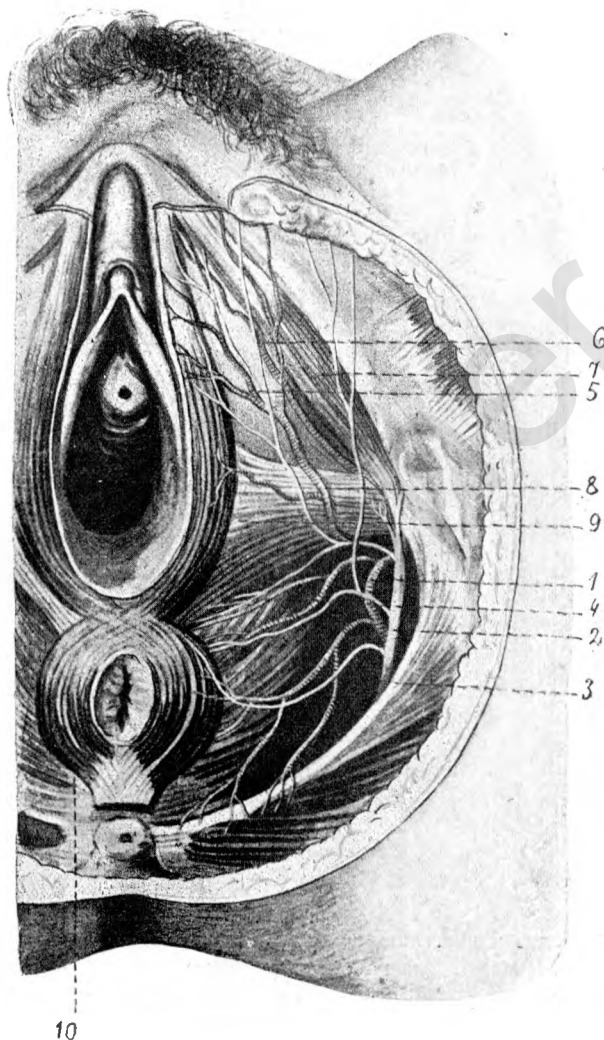


Рис. 21. Артерии и нервы нар. половых частей женщины (по Lenoir'у).

1—A. pudenda communis s. interna. 2—N. pudendus internus. 3—A. haemorrhoidalis inf. 4—A. perinealis. 5—A. dorsalis clitoridis. 6—A. profunda clitoridis. 7—Musc. ischio-cavernosus. 8—M. transversus perinei superficialis. 9—M. constrictor cunni (bulbo-cavernosus.). 10—M. sphincter ani externus.

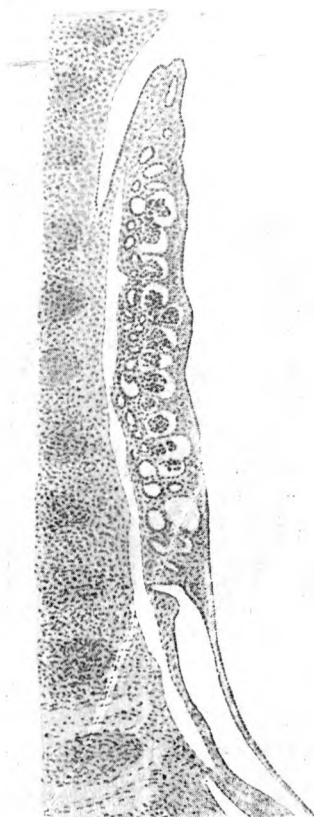


Рис. 22. Продольный разрез через Wolff'ово тело у зародыша (человеческого) в 8 милл. длиной*.

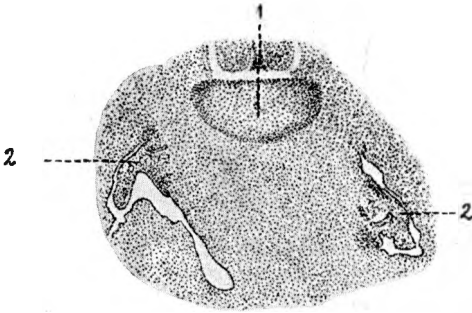


Рис. 23. Поперечный разрез через тело человеческого зародыша в 12 милл. длиной *.

1—Позвоночник. 2, 2—Wolff'овы тела.

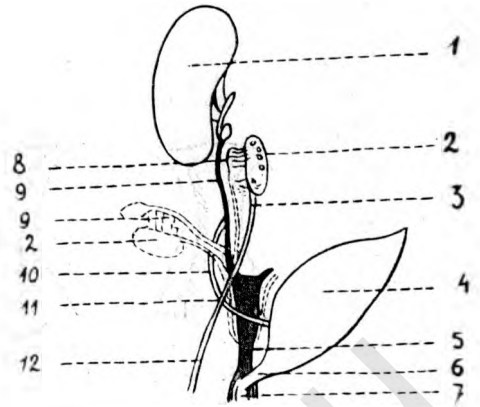


Рис. 24. Схема развития внутренних половых частей женщины (по Hertwig'y)

1—Почка. 2—Яичник. 3—Lig. ovarii proprium. 4—Мочевой пузырь. 5—Влагалище. 6—Уретра. 7—Преддверие влагалища. 8—Parovarium. 9—Fallop'ева труба. 10—Мочеточник. 11—Матка. 12—Круглая маточная связка. Пунктиром отмечено положение трубы и яичника после опускания яичников (descensus ovariorum).

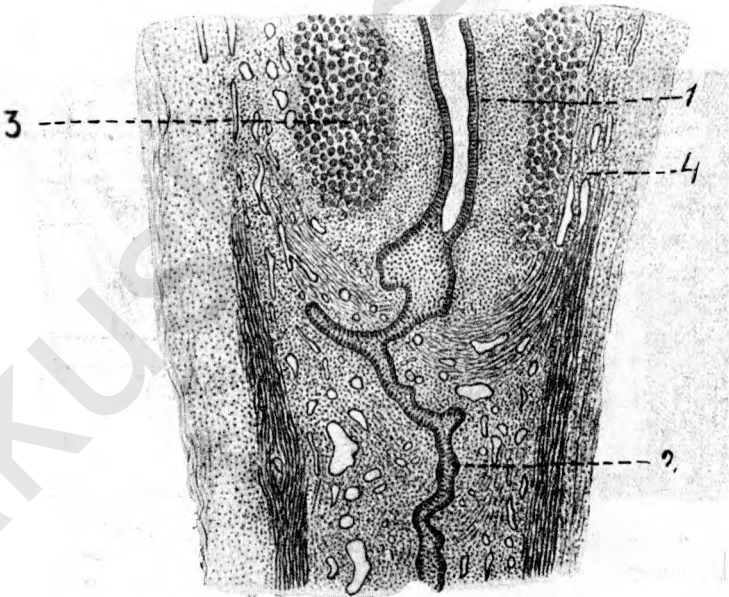


Рис. 25. Образование сводов и влагалищной части матки у человеческого зародыша женского пола на V мес. утробной жизни *.

1—Маточный отдел полового канала (снабженный просветом). 2—Влагалищный отдел полового канала (выполненный эпителием). 3—Циркулярная мускулатура матки (архимиометрий). 4—Продольная мускулатура матки и рукава (парамииометрий).

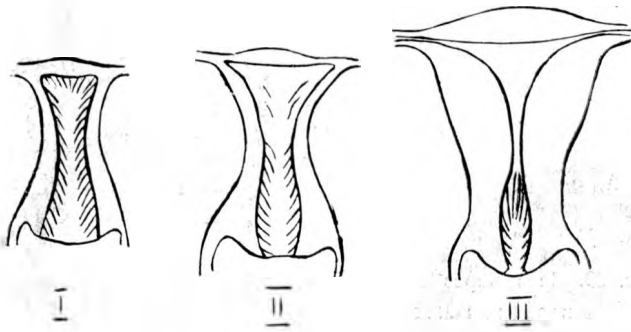


Рис. 26. Развитие матки (схематически, по *Küstner*'у).

- I — Матка новорожденной девочки. II — Матка 7-летней девочки.
III — Матка девушки, достигшей половой зрелости.



Рис. 27. Внутренние половые части новорожденной девочки*.

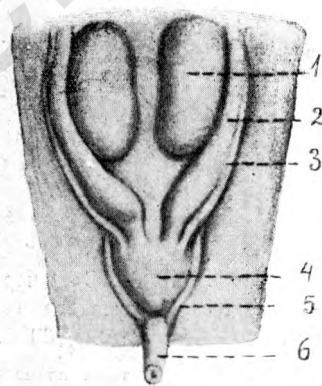


Рис. 28. Половые железы и первичные почки у человеческого зародыша в 2,3 сант. длиной (лин. увелич. ок. 5 раз.)*.

- 1 — Половая железа 2 — Wolff'ово тело.
3 — Wolff'ов ход. 4 — Allantois. 5 — Arterial umbilicalis. 6 — Vena umbilicalis.

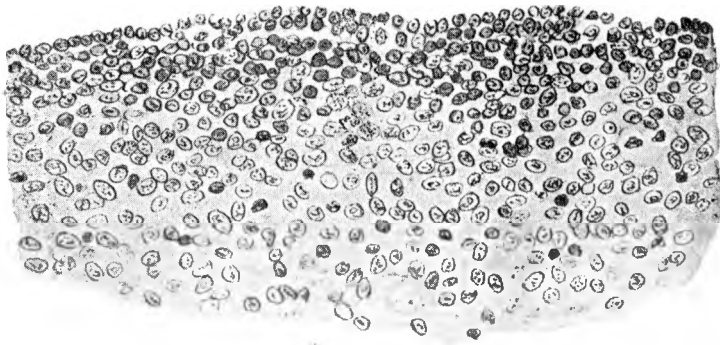


Рис. 29. Срез через корковый слой яичника у человеческого зародыша женского пола в 18 сант. длиною*.

Периферия яичника занята клетками разросшегося эпителия, среди которых, — а также и среди элементов стромы, — встречаются более объемистые клетки со светлою протоплазмой — яйцевые клетки.

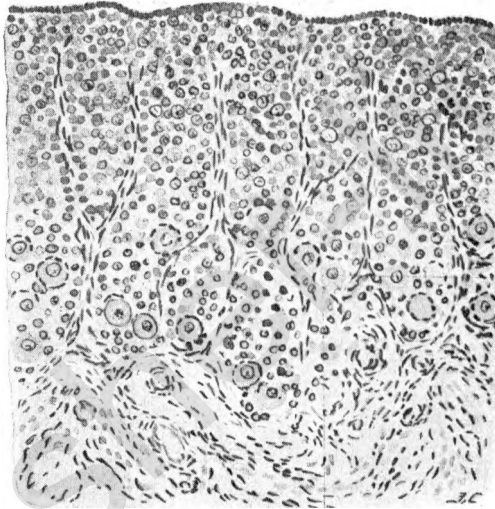


Рис. 30. Срез через корковый слой яичника человеческого зародыша женского пола в 30 сант. длиною*.

Образование примордиальных фолликулов из разростаний зародышевого энтелия.

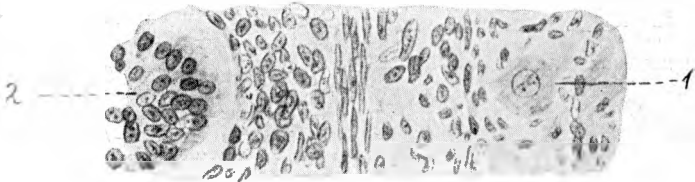


Рис. 31. Первичная половая клетка, лежащая экстрарегионарно, близ стенки желудка, у человеческого зародыша в 7 сант. длиною*.

1—Первичная половая клетка. 2—Стенка желудка.

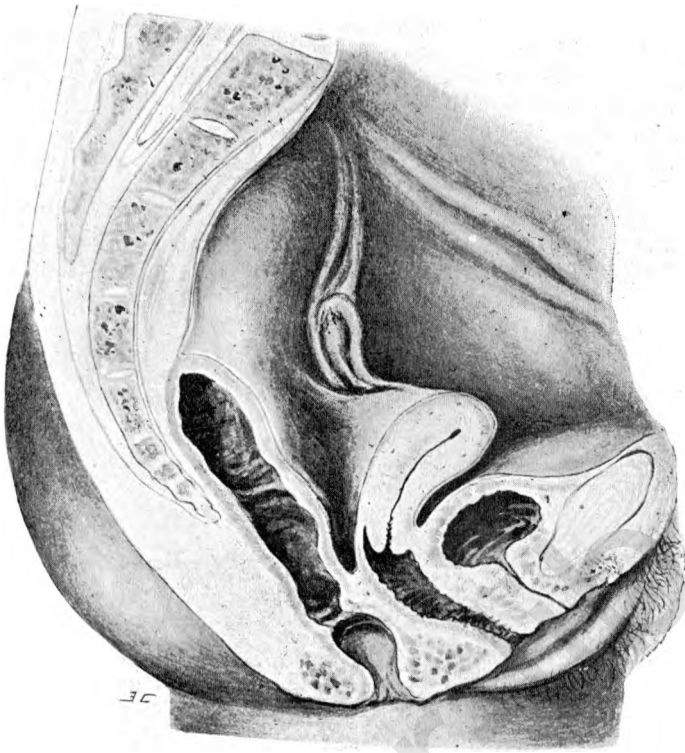


Рис. 32. Сагиттальный разрез чрез таз взрослой женщины с находящимися в нем мягкими частями *.



Рис. 33. Поперечный разрез через влагалище и уретру взрослой женщины на спиртовом препарате (по Губареву).

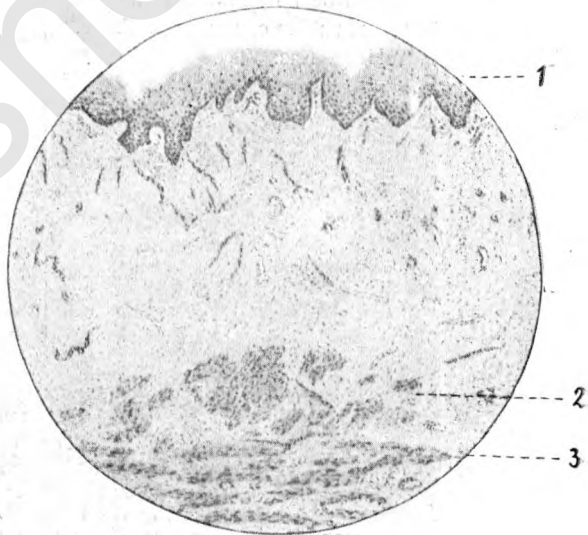


Рис. 34. Продольный разрез через стенку влагалища у взрослой женщины, под микроскопом *.

1—Покровный эпителий. 2—Циркулярные мышечные пучки. 3—Продольные мышечные пучки.

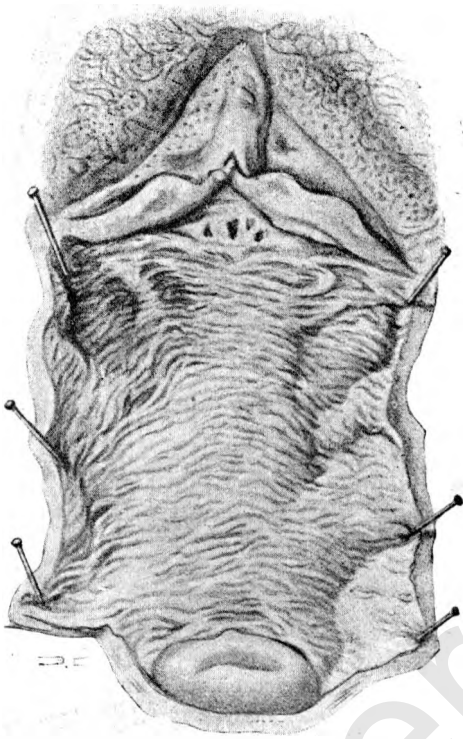


Рис. 35. Вскрытое по длине влагалище
взрослой женщины (по спирт. преп. Анат.
Инст. Каз. Ун.).

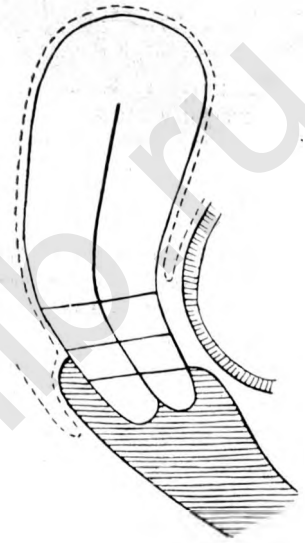


Рис. 37. Части маточной
шейки (по Славянскому).

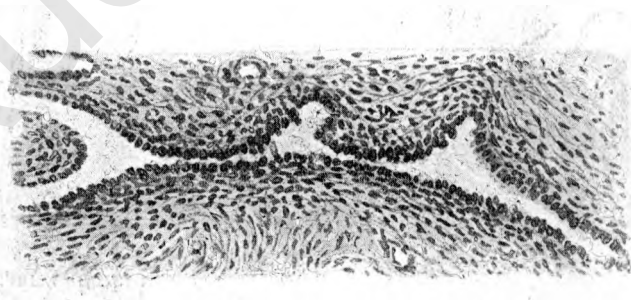


Рис. 36. Остаток *Wolff*'ова хода (*Gartner*'овский канал)
в стенке рукава взрослой женщины. *)

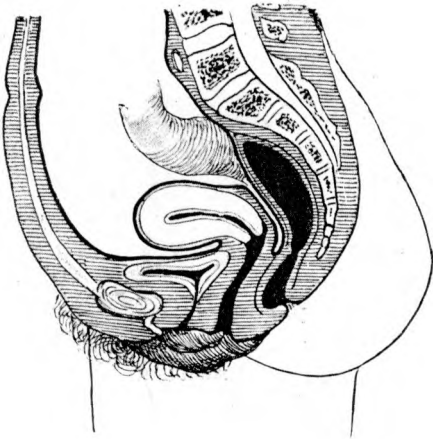


Рис. 38. Положение матки при пустом мочевом пузыре и опорожненной прямой кишке.

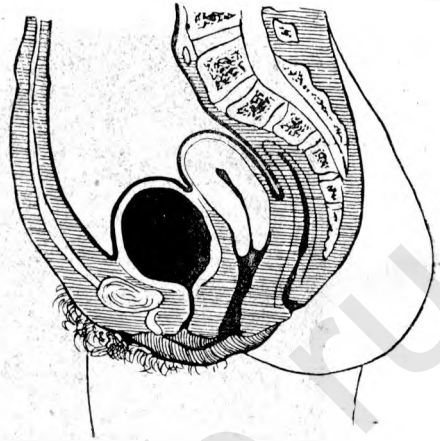


Рис. 39. Положение матки при наполненном мочевом пузыре и опорожненной прямой кишке.

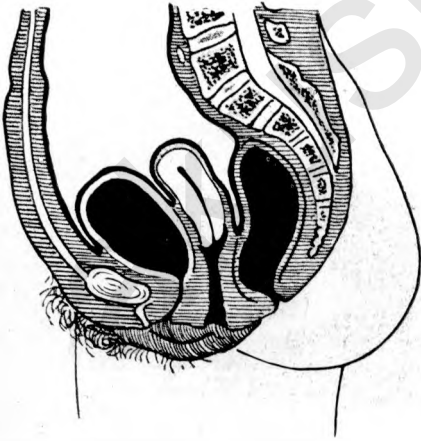


Рис. 40. Положение матки при наполненном мочевом пузыре и прямой кишке.

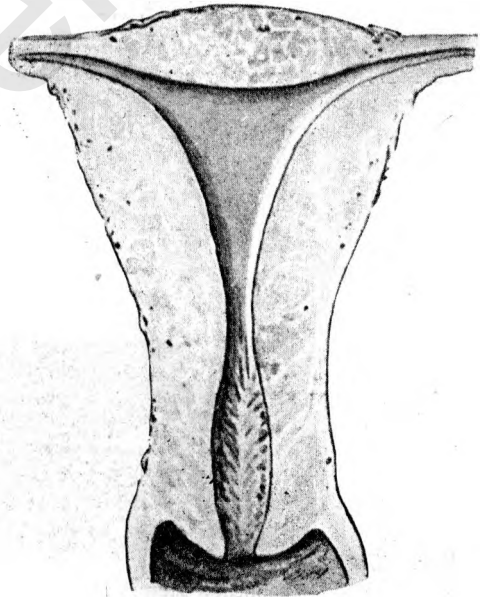


Рис. 41. Полость матки нерожавшей женщины *.

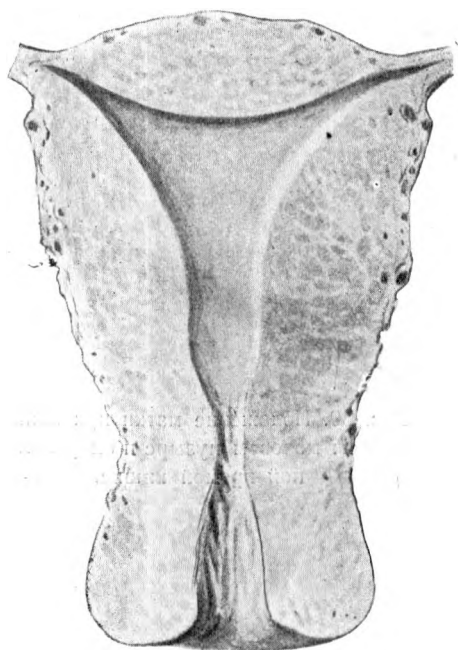


Рис. 42. Полость матки рожавшей женщины *.



Рис. 43. Наружный маточный зев у нерожавшей женщины *.

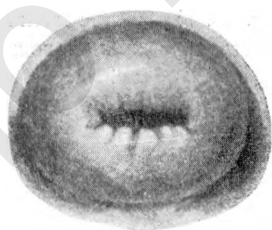


Рис. 44. Наружный маточный зев у рожавшей женщины *.

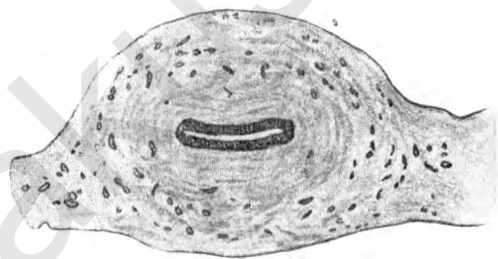


Рис. 45. Поперечный разрез через тело матки взрослой женщины *.

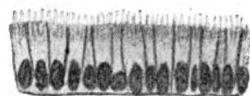


Рис. 46. Клетки покровного эпителия в теле и шейке матки *.

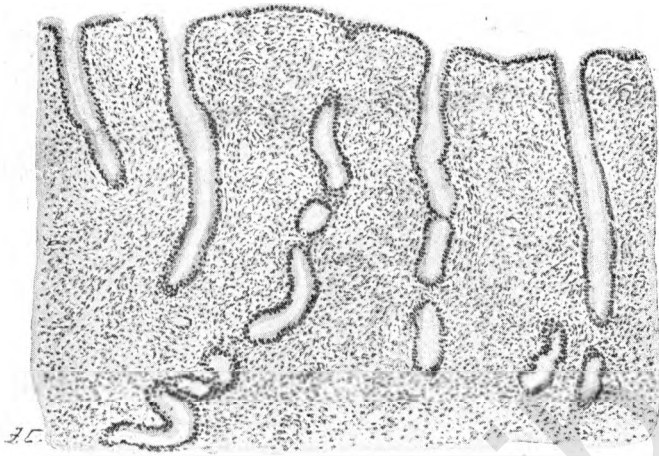


Рис. 47. Железы слизистой оболочки маточного тела*.

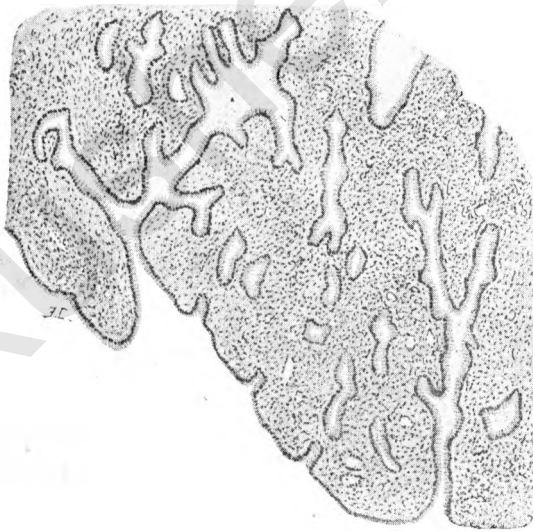


Рис. 48. Железы слизистой оболочки маточной шейки*.

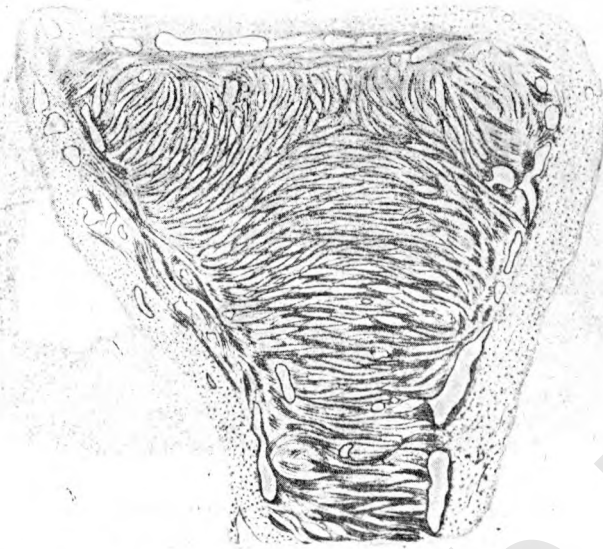


Рис. 49. Расположение мышц в теле матки у зародыша в 34,5 сант. длиной (7-й месяц беременности) *.



Рис. 50. Расположение мышц в шейке матки и стенке рукава у зародыша в 34,5 сант. длиной (7-й месяц беременности) *.

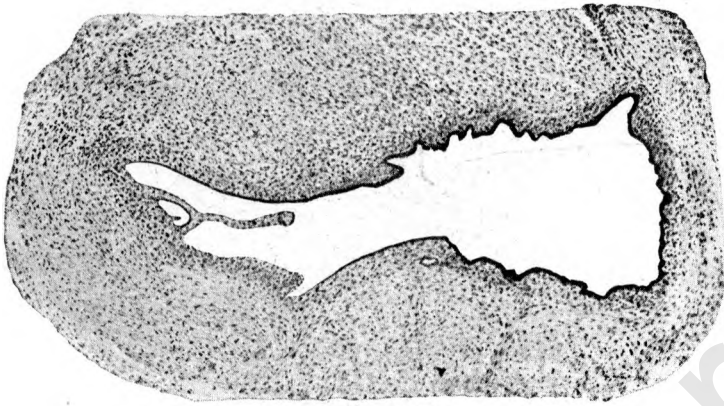


Рис. 51. Остатки *Wolff*'ова хода (*Gartner*'овский канал) в стенке маточной шейки у взрослой женщины*.

Эпителий, выстилающий просвет канала, в одной половине его—высокий, цилиндрический, с ясно выраженными ресничками, в другой—низкий, кубический и даже пластинчатый, без мерцательных ресничек.

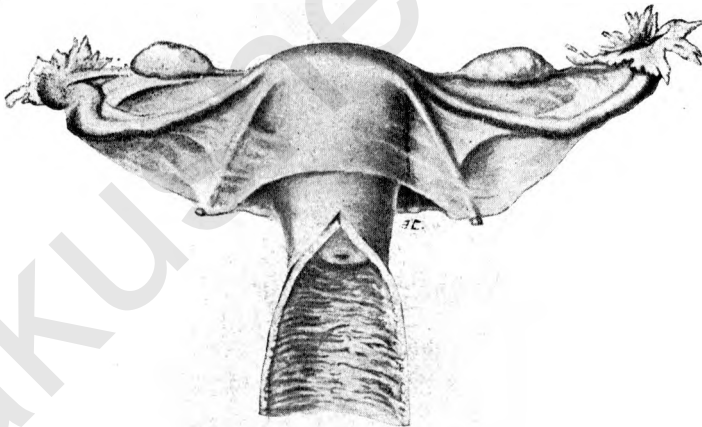


Рис. 52. Матка с придатками и частью рукава у взрослой женщины (по *Lenoir*'у).

*Fallop*i'евы трубы оттянуты кпереди и книзу так, чтобы была видна верхняя часть заднего листка широких связок с лежащими здесь яичниками.

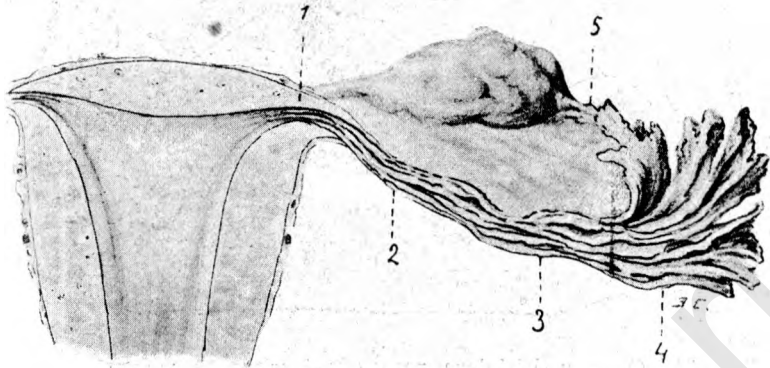


Рис. 53. Продольный разрез через канал *Fallop*и'евой трубы у взрослой женщины (полусхематически) *.

1—*Pars interstitialis tubae*. 2—*Pars isthmica tubae*. 3—*Pars ampullaris tubae*. 4—*Infundibulum tubae*. 5—*Fimbria ovarica*.

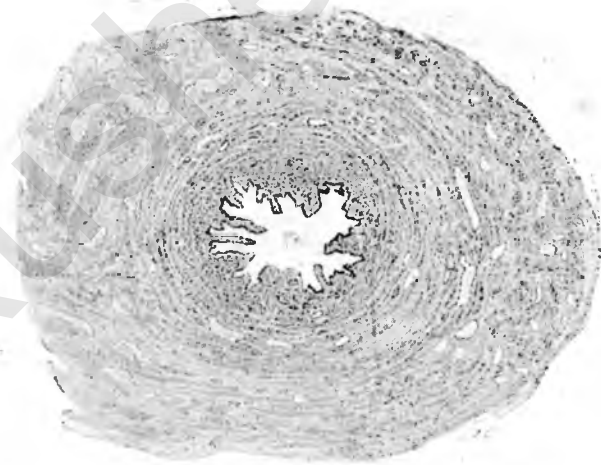


Рис. 54. Поперечный срез через *Fallop*и'еву трубу в *pars isthmica* *.

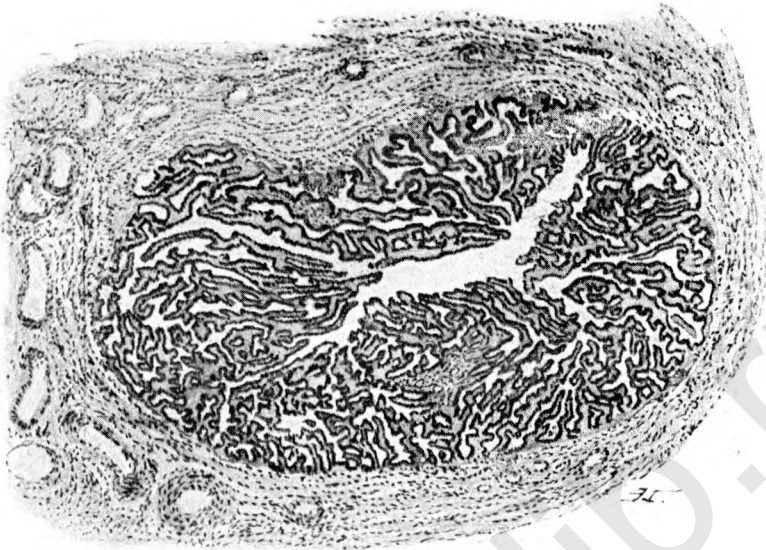


Рис. 55. Поперечный срез через *Fallop*’еву трубу в *pars ampullaris* *.

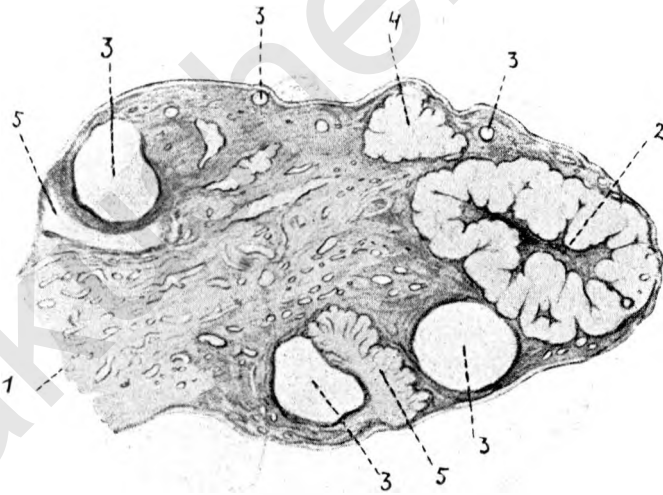


Рис. 56. Поперечный срез через яичник взрослой женщины при рассматривании через лупу *.

1 — *Hilus ovarii*. 2 — Желтое тело. 3,3,3 — Фолликулы в различных стадиях созревания. 4 — *Corpus albicans* 5,5 — Атретические фолликулы.

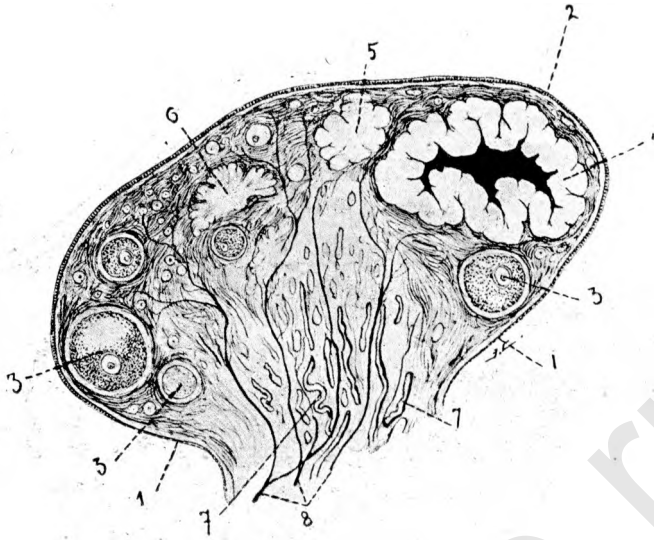


Рис. 57. Продольный разрез через яичник взрослой женщины (схематически) *.

1,1—Брюшина. 2—Зародышевый эпителий. 3,3—Фолликулы в разных стадиях созревания. 4—Corpus luteum. 5—Corpus albicans. 6—Остаток атрезированного фолликула. 7,7—Сосуды в мозговом слое. 8—Нервный ствол.



Рис. 58. Rete ovarii в межсвязочной части яичника взрослой женщины*.

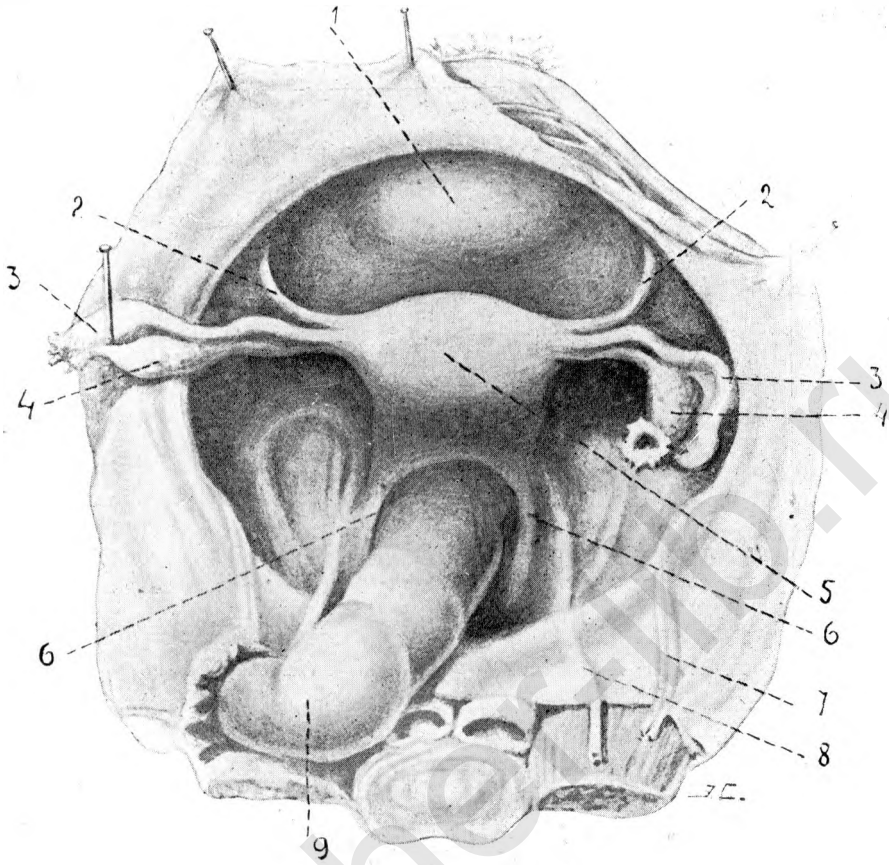


Рис. 59. Вид малого таза с мягкими частями у взрослой женщины сверху*.

1— Мочевой пузырь. 2,2— Круглые маточные связки. 3,3— Fallopi'евы трубы. 4,4— Яичники. 5— Матка. 6,6.— Маточно-крестцовые связки. 7— Vasa spermatica interna. 8— Мочеточник. 9— Прямая кишка.

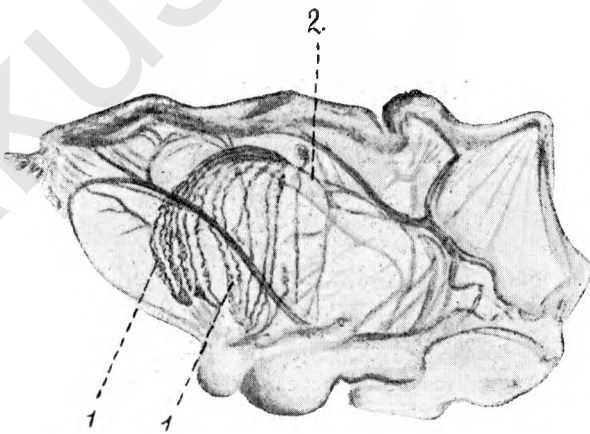


Рис. 60. Раговариум у плода женского пола в конце утробной жизни*.

1,1— Паровариальные каналцы. 2— Gartner'овский канал (Wolff'ов ход).

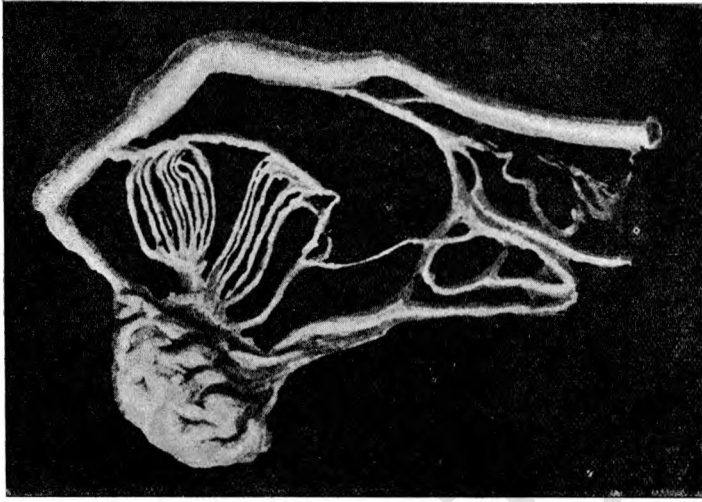


Рис. 61. Parovarium у взрослой женщины *.

Участки широкой связки между отдельными канальцами вырезаны.

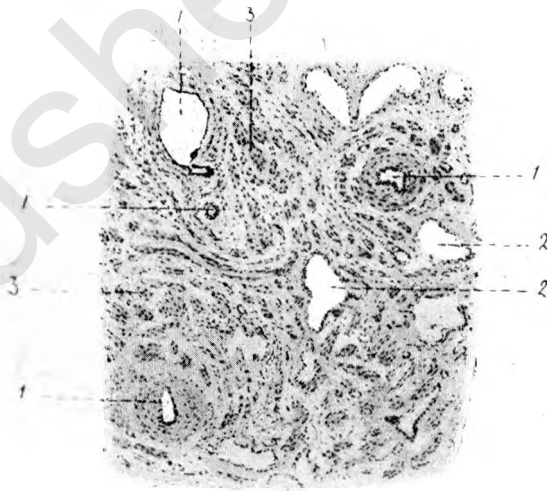


Рис. 62. Поперечный срез через паровариальные канальцы в широкой связке взрослой женщины, под микроскопом *.

1,1—Паровариальные канальцы. 2,2—Сосуды. 3,3—Гладкие мышцы.

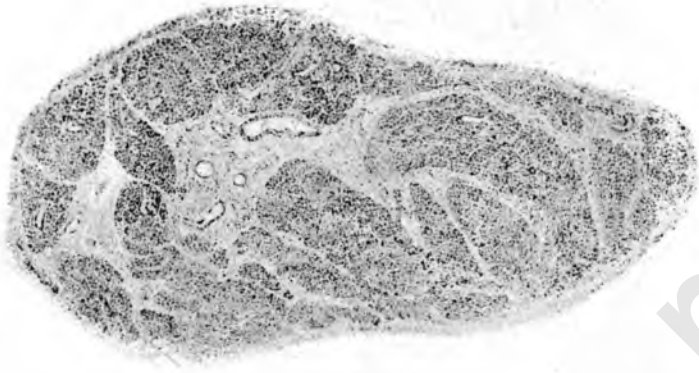


Рис. 63. Поперечный срез через круглую маточную связку, в средней ее трети, у взрослой женщины*.

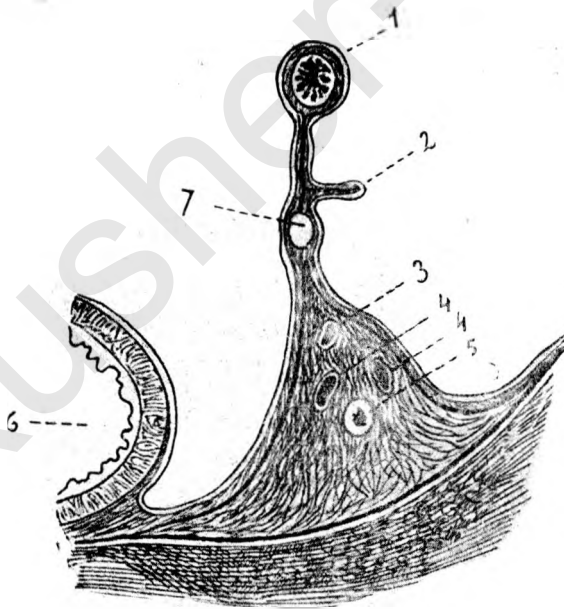


Рис. 64. Вертикальный разрез через широкую связку около ребра матки (по Губареву).

1—Fallop'iева труба. 2—Lig. ovarii proprium. 3—Art. uterina.
4,4—Venaе uterinae. 5—Мочеточник. 6—Мочевой пузырь.
7—Lig. rotundum.

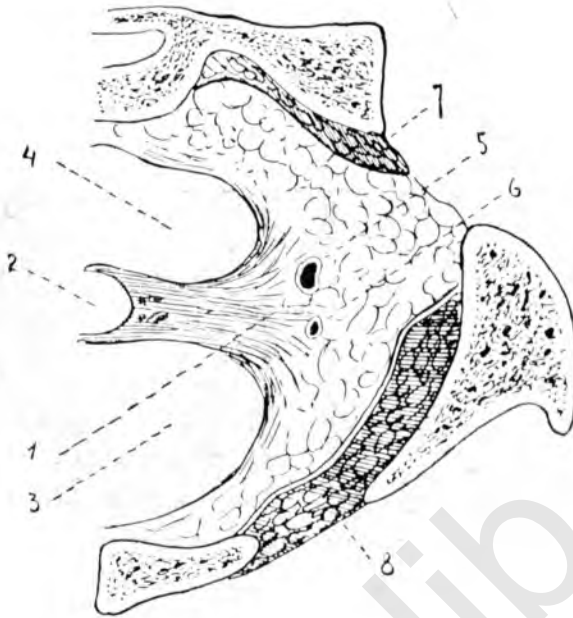


Рис. 65. Поперечный разрез через основание широкой связки (по *Veit'y*).

1—Параметрий (lig. cardinale). 2—Матка. 3—Cavum vesico-uterinum. 4—Cavum recto-uterinum. 5—Мочеточник. 6—Art. uterina. 7—Musc. pyriformis. 8—Musc. obturator internus.

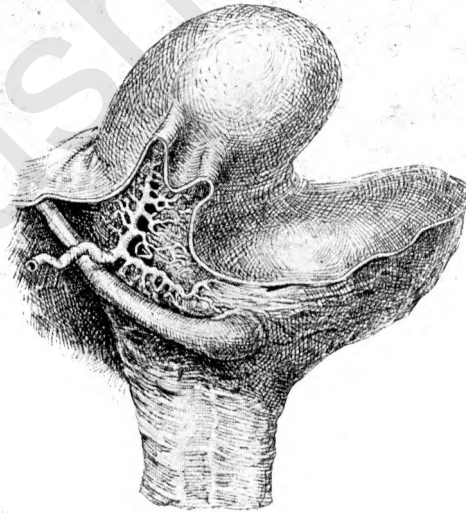


Рис. 66. Ход мочеточника в параметрии и отношение его к art. uterina.

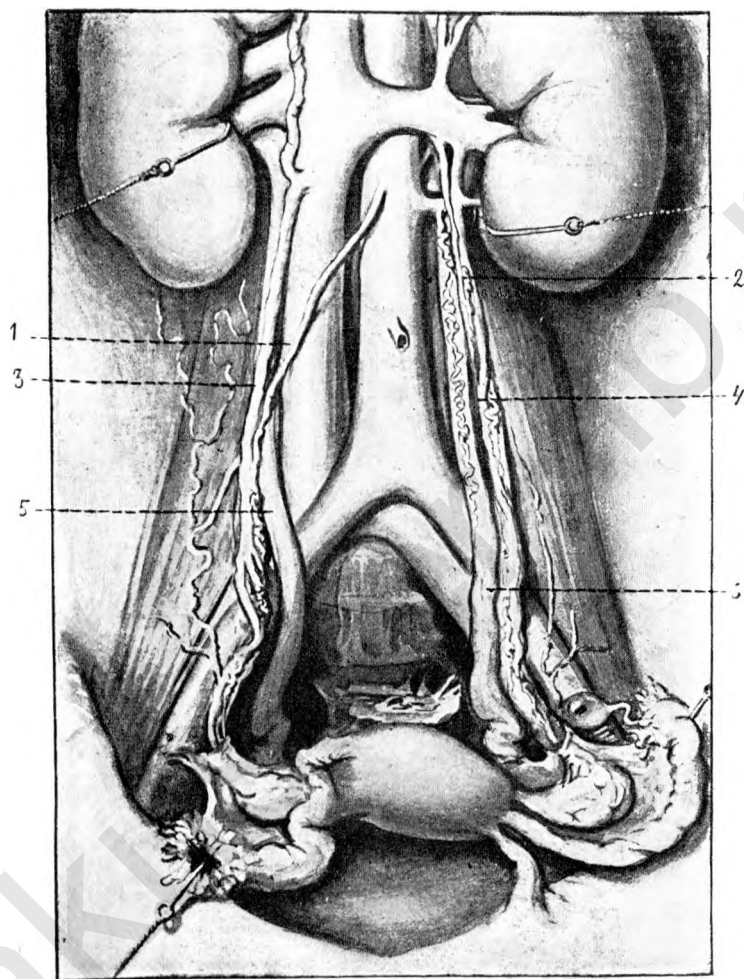


Рис. 68. Ход внутренней семенной артерии (по Kelly).

1 — A. spermatica int. dex. (отходит от аорты). 2 — A. spermatica int. sin. (отходит от a. renalis sin.). 3 — V. spermatica int. dex. (впадает в v. cava inf.). 4 — V. spermatica int. sin. (впадает в v. renalis sin.). 5 — Правый мочеточник. 6 — Левый мочеточник.

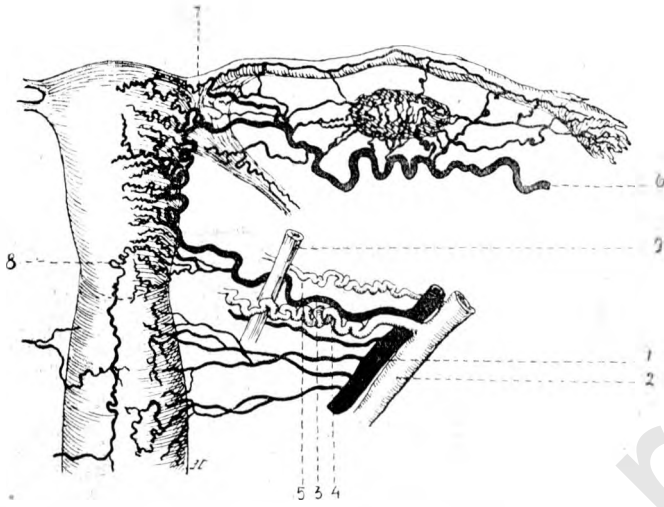


Рис. 67. Артерии и вены внутренних половых частей женщины (по Губареву и др.).

1 — A. hypogastrica. 2 — V. hypogastrica. 3 — A. uterina. 4, 5 — Vv. uterinae. 6 — A. spermatica interna (ovarica). 7 — Анастомоз между а. uterina и а. spermatica int. 8 — A. cervico-vaginalis. 9 — Мочегочник.

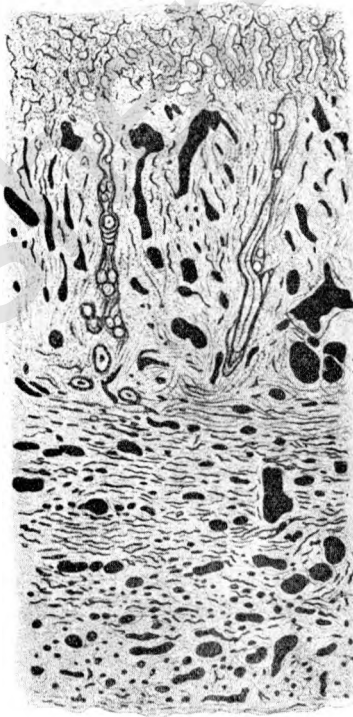


Рис. 69. Сагиттальный разрез через заднюю стенку матки с инъецированными сосудами у 16-летней *.

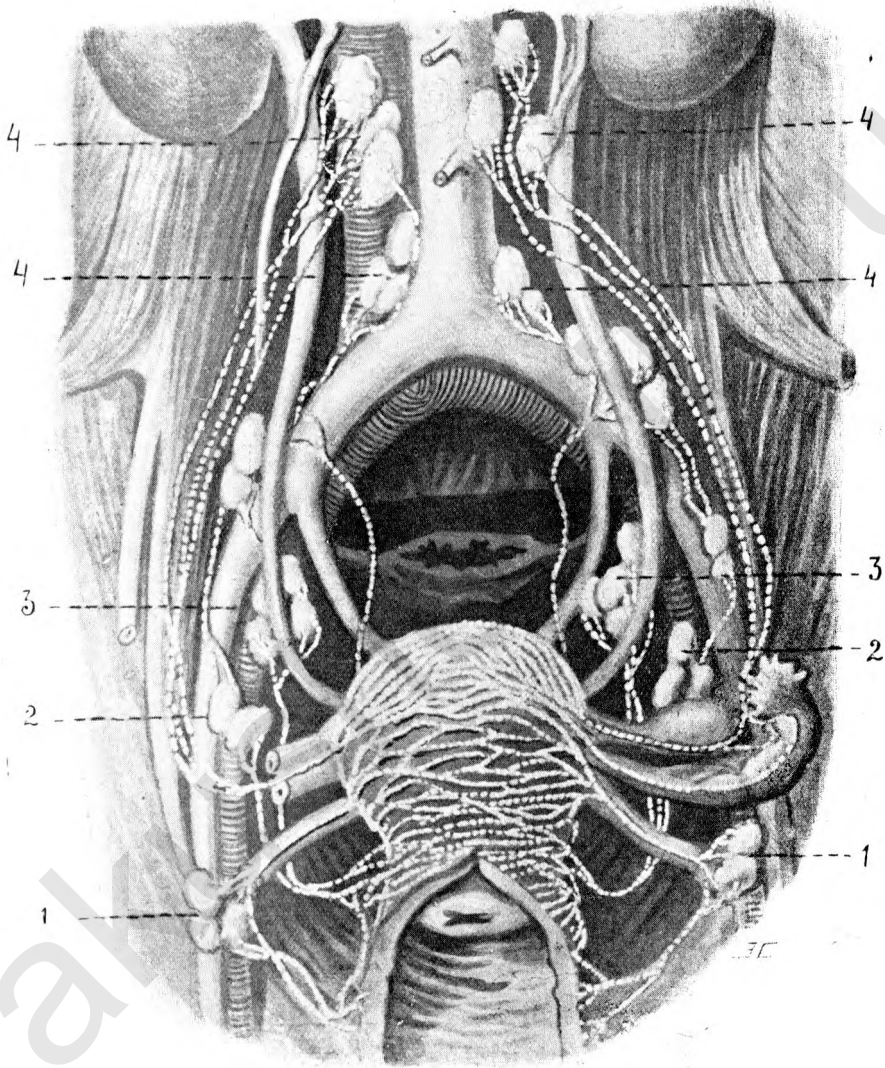


Рис. 70. Лимфатические пути внутренних половых частей женщины (по *Poirier*).

1,1 - Glandulae inguinales. 2,2 - Gl. iliacae. 3,3 - Gl. hypogastricae. 4,4 - Gl. lumbales.

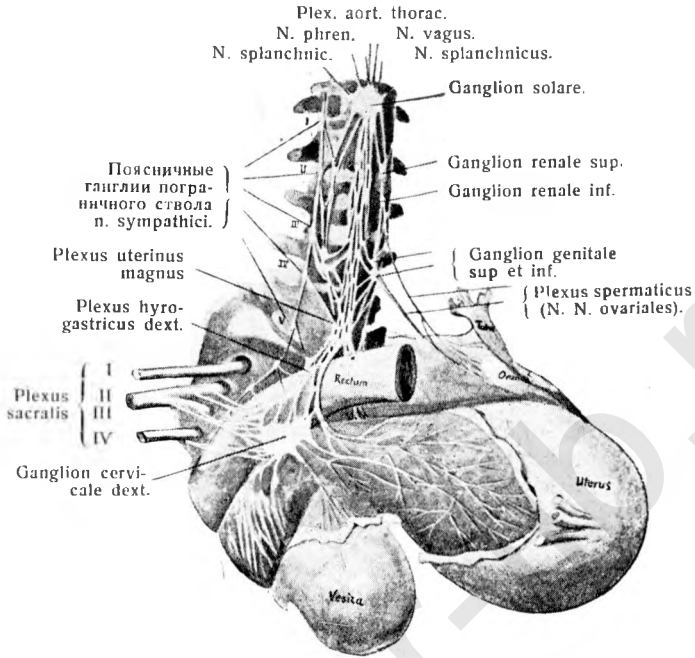


Рис. 71. Нервы внутренних половых частей женщины (по *Frankenhäuser*'у).

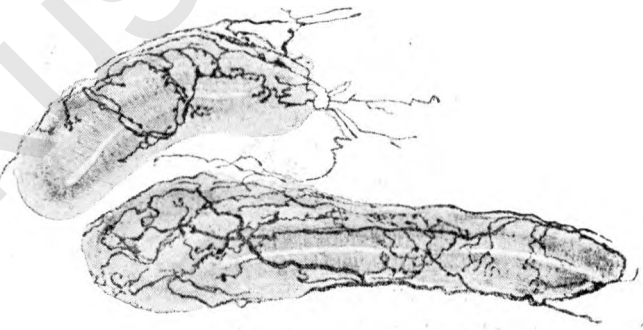


Рис. 72. Иннервация маточных желез (по *Синицыну*).

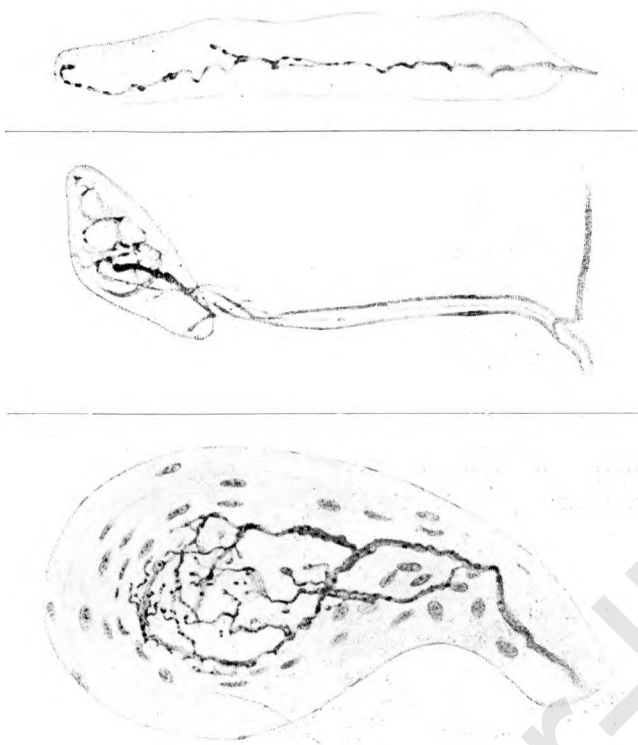


Рис. 73. Концевые нервные тельца различных типов из слизистой оболочки влагалища у кролика (по Синицыну).

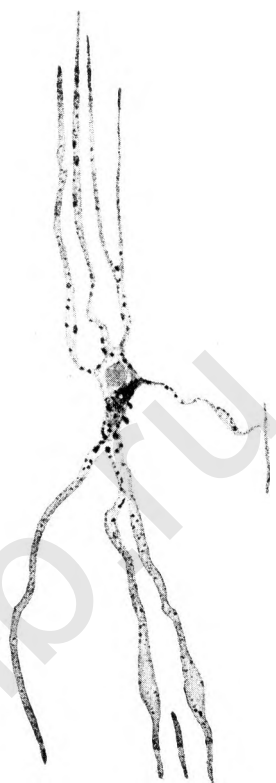


Рис. 74. Нервная клетка в толще миометрия беременной женщины *.

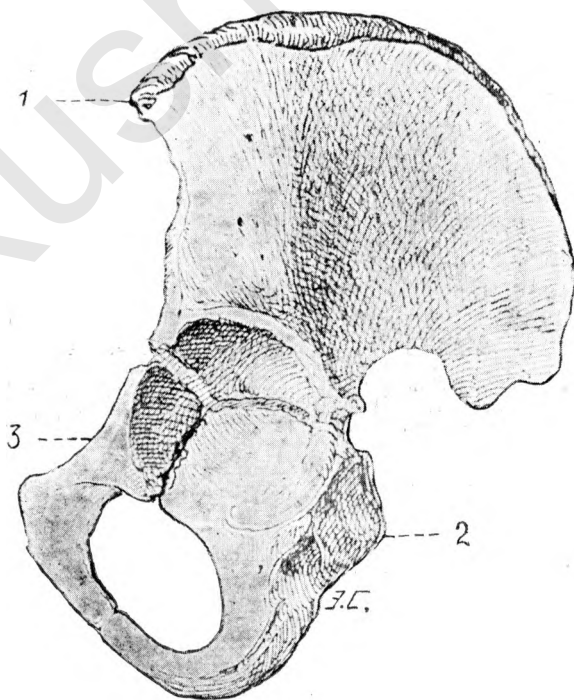


Рис. 75. Безымянная кость у 9-летней девочки (по преп. Анат. Инст. Каз. Ун.).

1—Os ilium. 2—Os ischiî. 3—Os pubis.

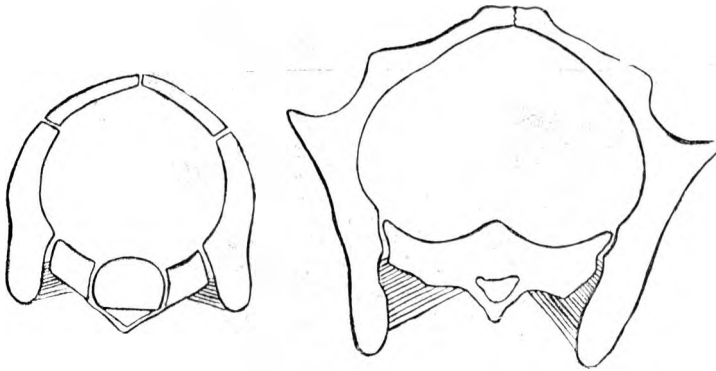


Рис. 76. Форма таза у новорожденной девочки и взрослой женщины (по Schroeder'у).

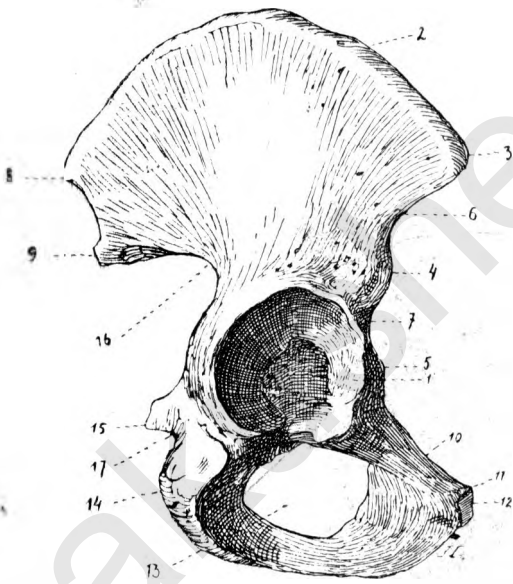


Рис. 77. Безымянная кость взрослой женщины снаружи (по преп. А. Ин. Каз. Ун.).

1—Acetabulum. 2—Crista os. ilium. 3—Spina os. ilium ant. sup.
4—Sp. os. il. ant. inf. 5—Eminentia ilio-pectinea. 6—Incisura iliaca minor. 7—Inc. iliaca major. 8—Sp. os. il. post. sup. 9—Sp. os. il. post. inf. 10—Crista os. pubis. 11—Tuberculum pubicum. 12—Symphysis os. pubis. 13—Foramen obturatorium. 14—Tuber ischii. 15—Sp. ischiadica. 16—Incis. ischiadica major. 17—Inc. ishiadica minor.



Рис. 78. Безымянная кость взрослой женщины снизу (по преп. Анат. Инст. Каз. Ун.).

1—Linea arcuata interna (innominata). 2—Fossa iliaca.
3—Tuberositas iliaca. 4—Superficies auricularis.

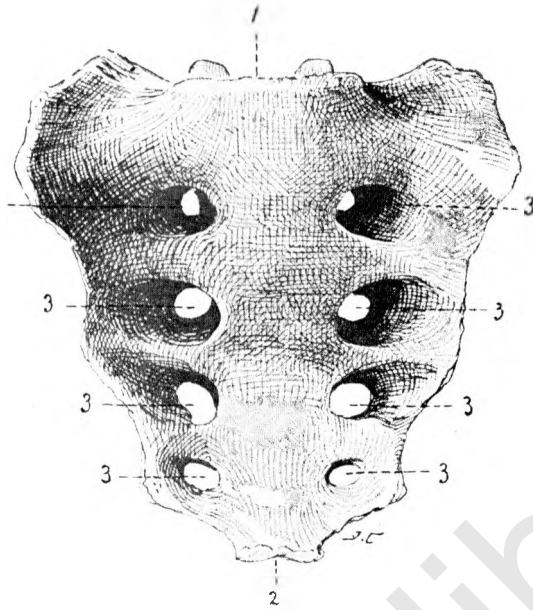


Рис. 79. Крестец спереди (по преп. Анат. Инст. Каз. Ун.).

1—Basis крестцовой кости. 2—Ареж крестца. 3,3—Foramina sacralia anteriora.

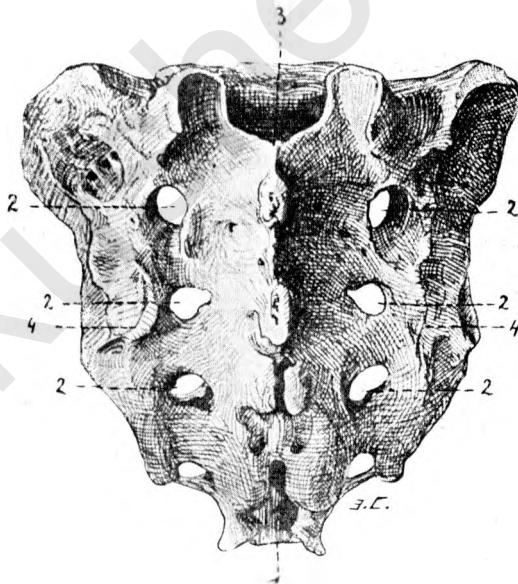


Рис. 80. Крестец сзади (по преп. Анат. Инст. Каз. Ун.).

1—Hiatus sacralis. 2,2—Foramina sacralia posteriora. 3—Crista sacralis media. 4,4—Cristae sacrales laterales.

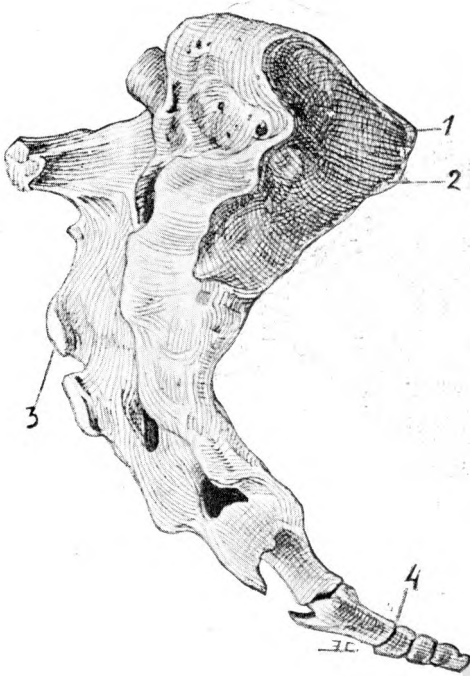


Рис. 81. Крестец вместе с копчиком сбоку (по преп. Анат. Инст. Каз. Ун.).

1—Promontorium. 2—Superficies auricularis. 3—Crista sacralis media. 4—Копчик.



Рис. 82. Копчиковая кость спереди (по преп. Анат. Инст. Каз. Ун.).

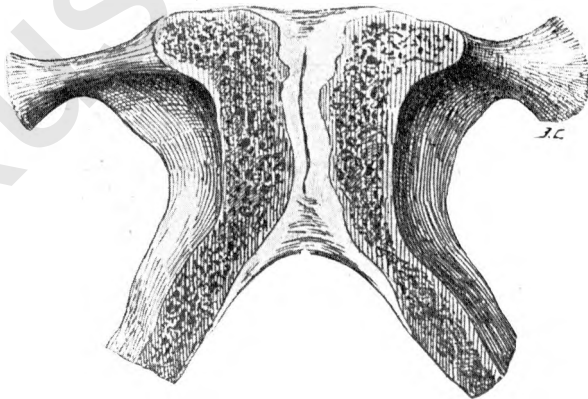


Рис. 83. Фронтальный распил через симфиз (по преп. Анат. Инст. Каз. Ун.).

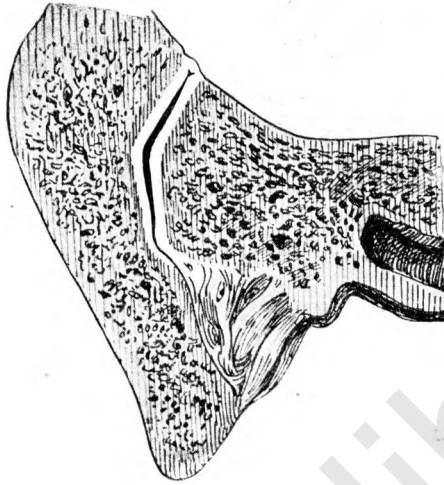


Рис. 84. Поперечный распил через крестцово-подвздошное сочленение (по преп. Анат. Инст. Каз. Ун.).

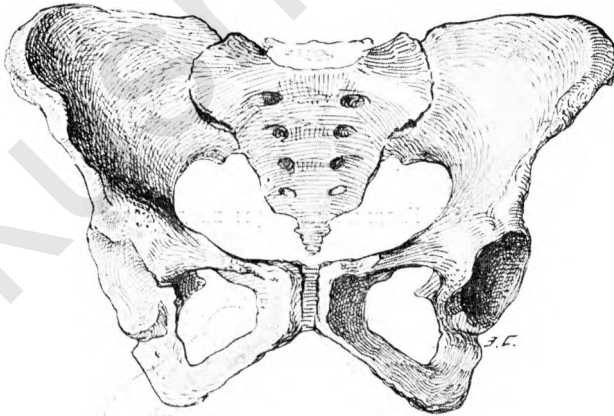


Рис. 85. Таз взрослой женщины спереди.

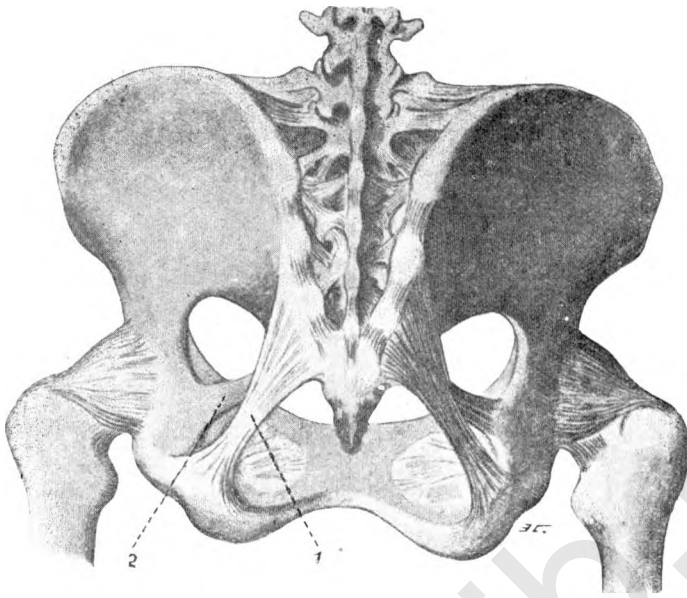


Рис. 86. Таз с его связками сзади
1—Lig. tuberoso-sacrum. 2—Lig. spinoso-sacrum.

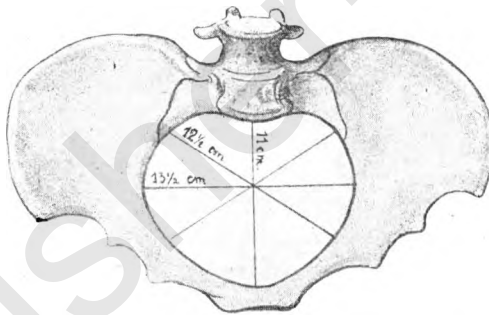


Рис. 87. Главные размеры входа в таз.

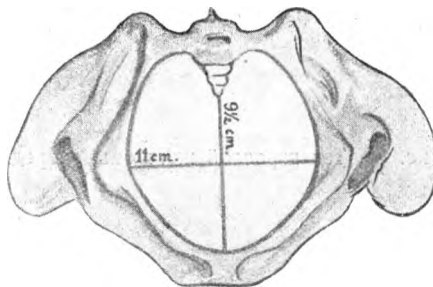


Рис. 88. Главные размеры выхода таза.

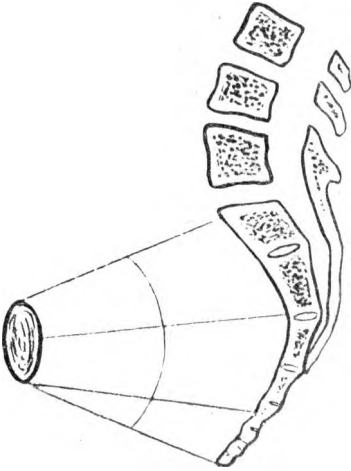


Рис. 89. Ось малого таза.

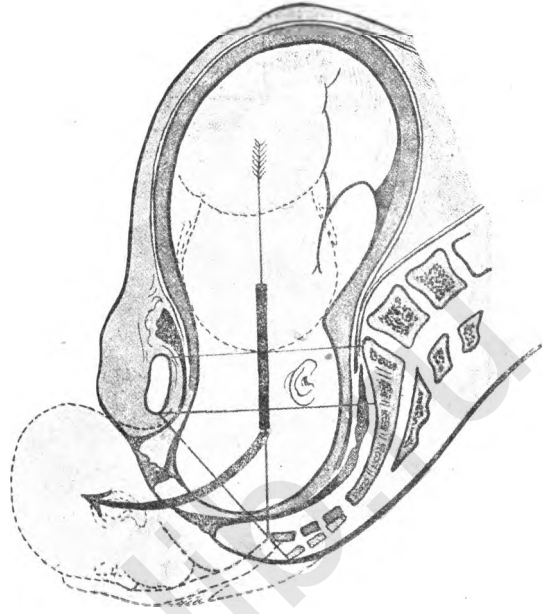


Рис. 90. Путь поступательного движения головки плода через малый таз при родах (по *Sellheim*'у).

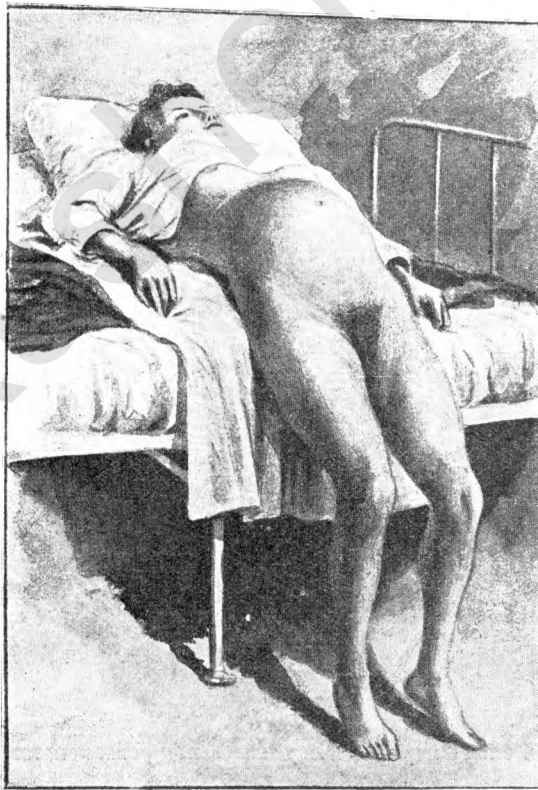


Рис. 91. *Walcher*'овское положение.

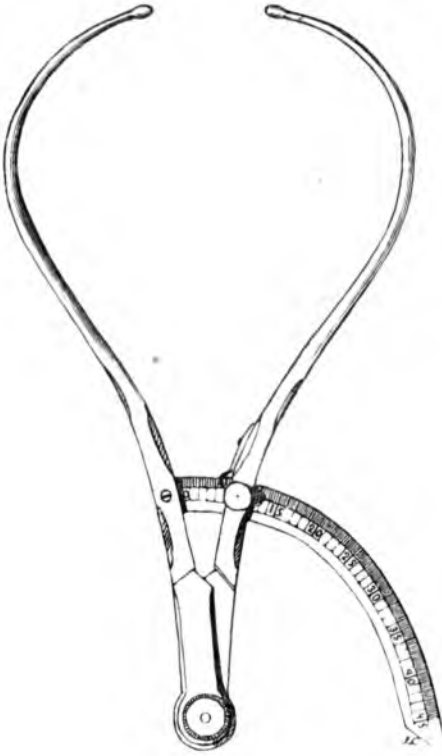


Рис. 92. Тазомер *Martin'a*.



Рис. 93. Тазомер с перекрещивающимися ветвями (*Collin'a*).

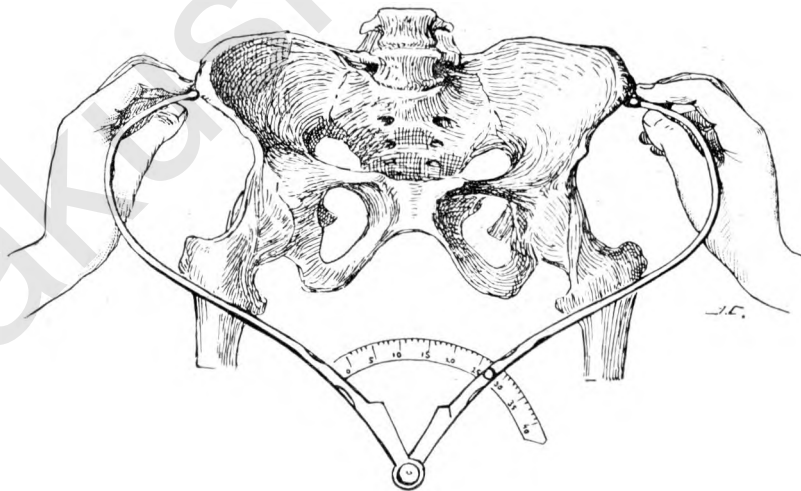


Рис. 94. Измерение *D. sp.* на скелетированном тазу*.

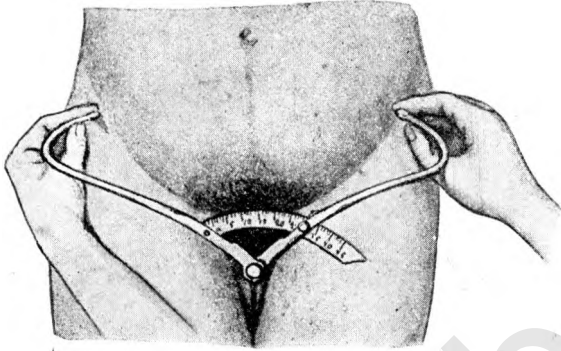


Рис. 95. Измерение D. sp. на живой женщине *

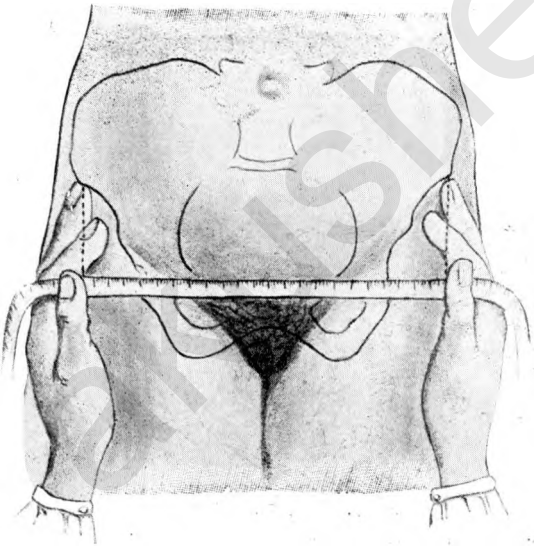


Рис. 96. Измерение D. sp. измерительной лентой (по Губареву).

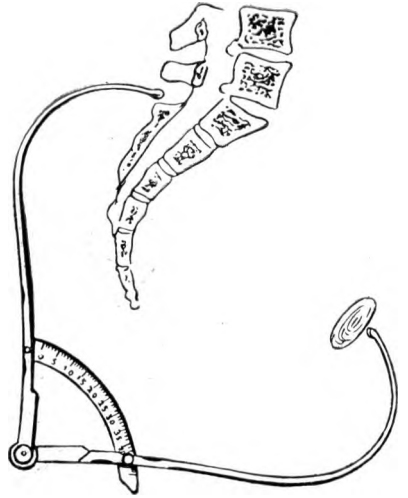


Рис. 97. Измерение наружной конъюгаты на скелетированном тазу *.

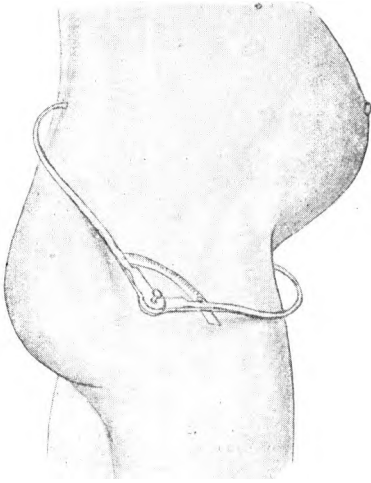


Рис. 98. Измерение наружной конъюгаты на живой *.

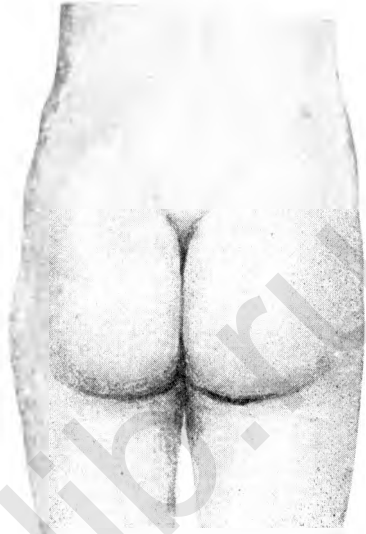


Рис. 99. Ромб *Michaëlis'a* *.

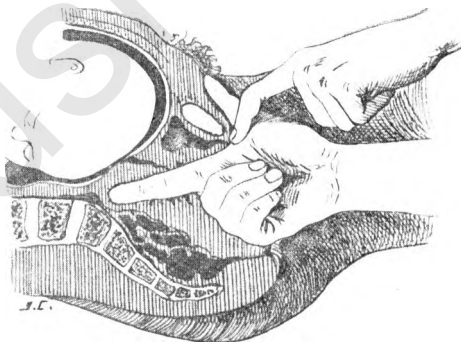


Рис. 100. Измерение диагональной конъюгаты одним пальцем *.

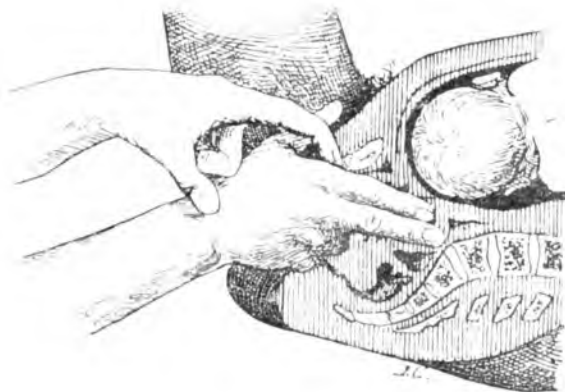


Рис. 101. Измерение диагональной конъюгаты двумя пальцами *.

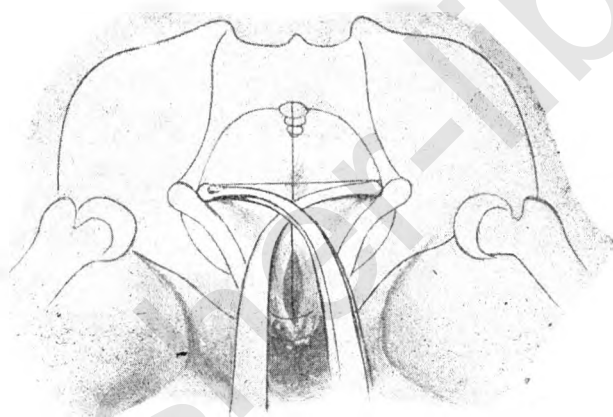


Рис. 102. Измерение поперечника тазового выхода *.

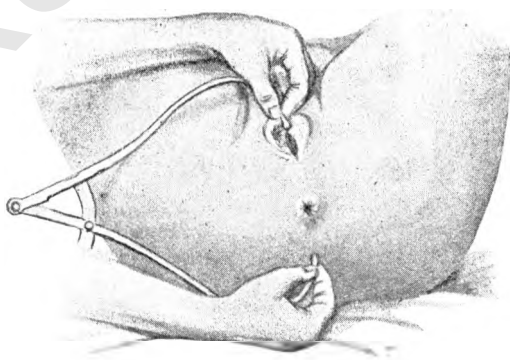


Рис. 103. Измерение прямого размера тазового выхода *.

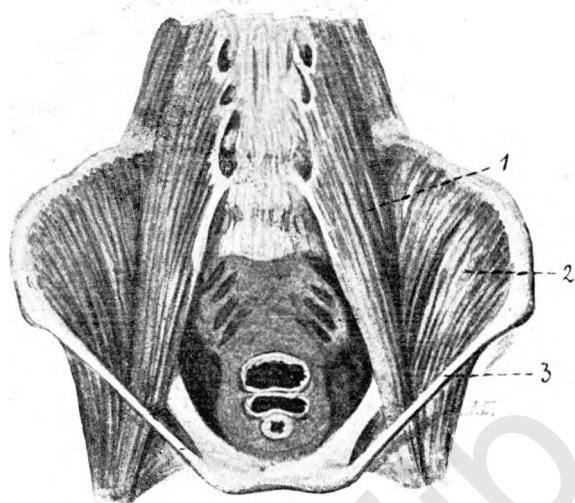


Рис. 104. Мышцы большого таза *.

1—Musc. psoas major. 2—Musc. iliacus internus.
3—Lig. Poupartii.

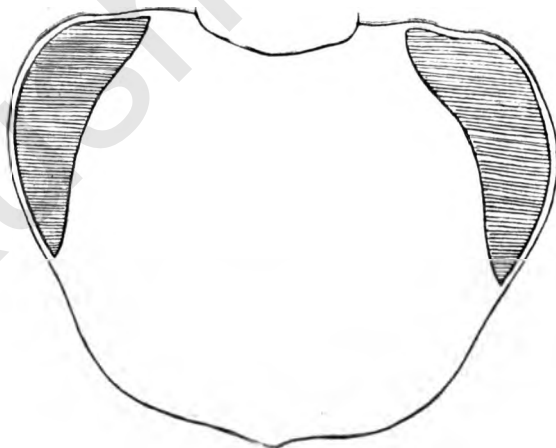


Рис. 105. Сужение входа в таз со стороны т. psoatis majoris (по Ястребову-Veit'у).

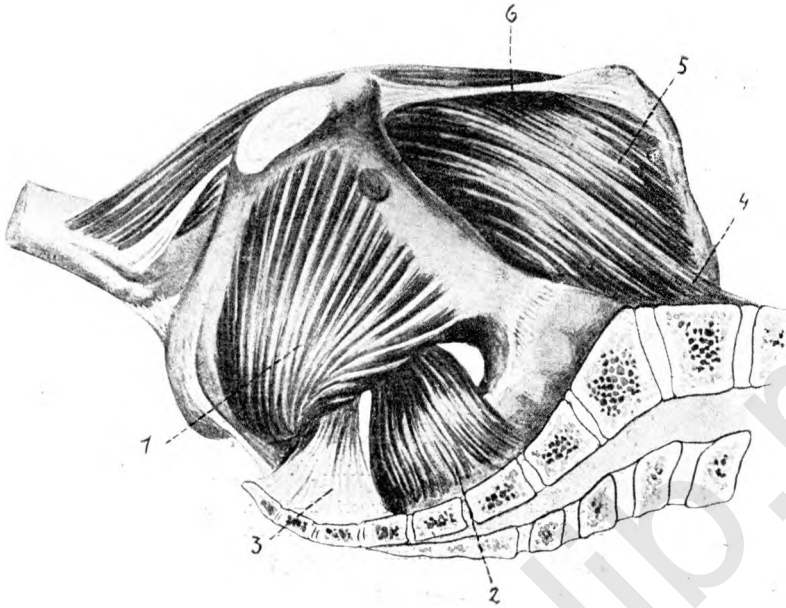


Рис. 106. Мышцы полости малого таза (по *Sellheim'у*).

1—Musc. obturator internus. 2—Musc. pyriformis. 3—Musc. ischio-coccygeus. 4—Musc. psoas major. 5—Musc. iliacus internus. 6—Lig. *Poupartii*.

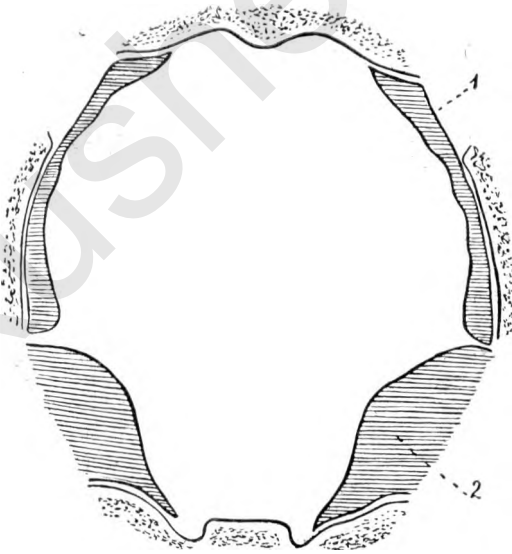


Рис. 107. Отношение внутренней запирающей и грушевидной мышц к просвету тазовой полости (по *Ястребову-Veit'у*).

1—Musc. obturator internus. 2—Musc. pyriformis.

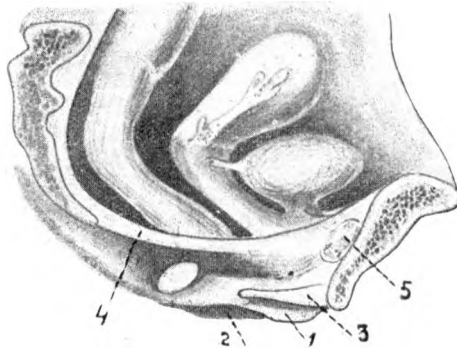


Рис. 108. Сагиттальный разрез через тазовое дно (по *Sellheim*'у).

1—*Musc. transversus perinei superf.* 2—*Musc. sphincter ani ext.* 3—*Diaphragma urogenitale* 4—*Musc. obturator internus.*

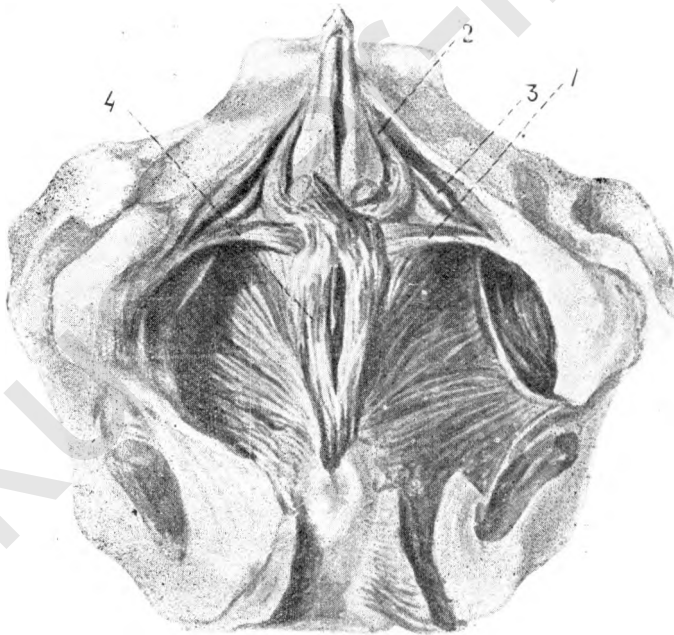


Рис. 109. Нижний ярус мышц тазового дна (по мод. *Анат. Инст. Каз. Ун.*).

1—*Musc. transversus perinei superficialis.* 2—*Musc. constrictor cunni (bulbo-cavernosus).* 3—*Musc. ischio-cavernosus.* 4—*Musc. sphincter ani.*

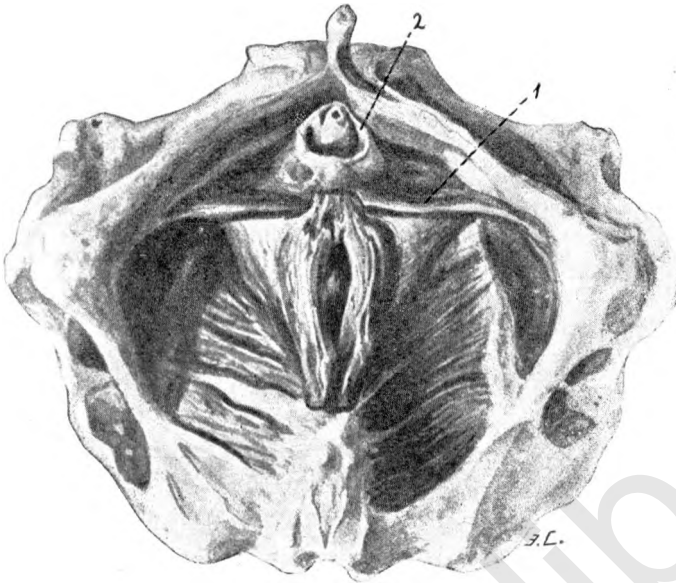


Рис. 110. Средний ярус мышц тазового дна (diaphragma urogenitale) (по мод. Анат. Инст. Каз. Ун.).

1—Musc. transversus perinei profundus. 2—Musc. sphincter urogenitalis.

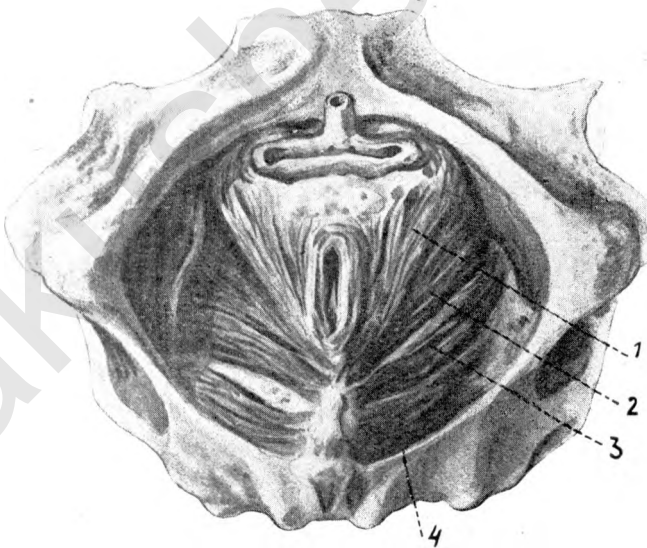


Рис. 111. Верхний ярус мышц тазового дна (musc. levator ani) (по мод. Анат. Инст. Каз. Ун.).

1—Musc. pubo-rectalis. 2—Musc. pubo-coccygeus. 3—Musc. ilio-coccygeus.
4—Musc. ischio-coccygeus.

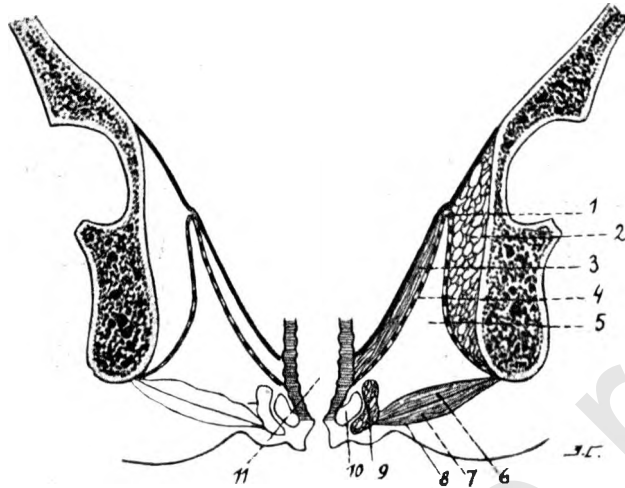


Рис. 112. Схема расположения тазовых фасций на фронтальном разрезе (по Губареву).

1—Fascia pelvis. 2—M. obturator int. 3—M. levator ani. 4—Fascia perinei media. 5—Spatium ischio-rectale. 6—M. transversus perinei prof. 7—M. transversus perinei superfic. 8—Fascia perinei superficialis. 9—M. constrictor cunni. 10—Bulbus vestibuli. 11—Vagina.

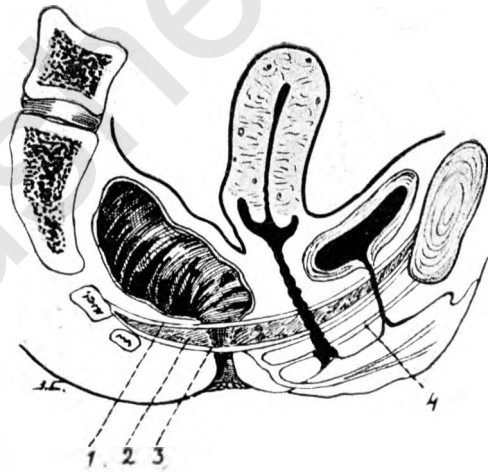


Рис. 113. Схема расположения тазовых фасций на сагиттальном разрезе (по Губареву).

1—Fascia pelvis. 2—Musc. levator ani. 3—Fascia perinei media. 4—Diaphragma urogenitale.

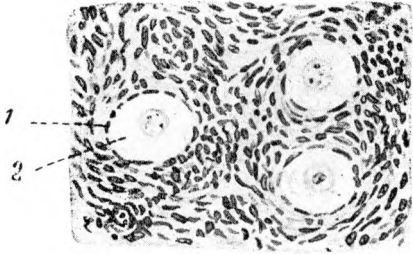


Рис. 114. Примордиальные фолликулы в корковом слое яичника взрослой женщины*.

1 — Яйцевой эпителий. 2 — Яйцевая клетка.

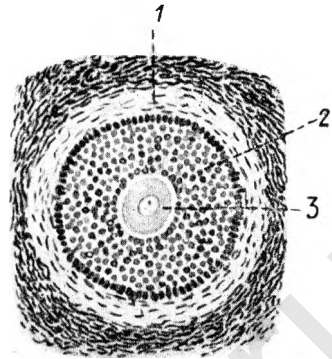


Рис. 115. Фолликул в начальной стадии созревания*.

1 — Theca folliculi. 2 — Membrana granulosa. 3 — Яйцевая клетка.

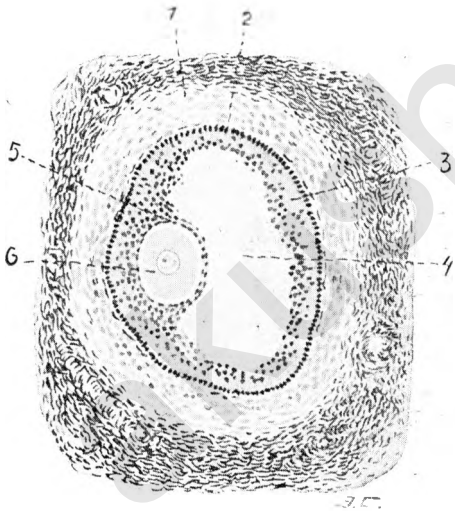


Рис. 116. Фолликул в стадии образования фолликулярной полости (Graaf'ов пузырьк)*.

1 — Theca folliculi externa. 2 — Theca interna. 3 — Membrana granulosa. 4 — Полость фолликула. 5 — Cumulus proligerus. 6 — Яйцо.

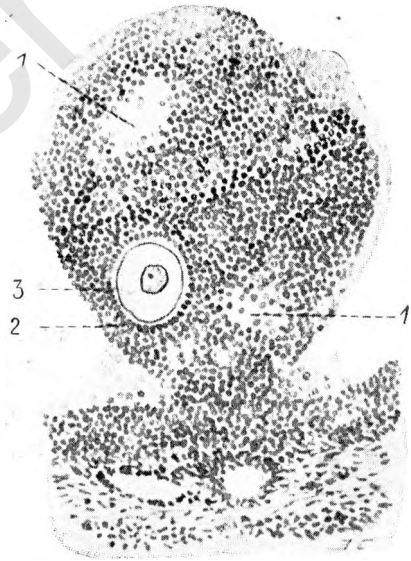


Рис. 117. Cumulus proligerus в близком к полной зрелости Graaf'овом пузырьке человека*.

1, 1 — Полости, образовавшиеся вследствие распада клеток. 2 — Corona radiata. 3 — Zona pellucida.

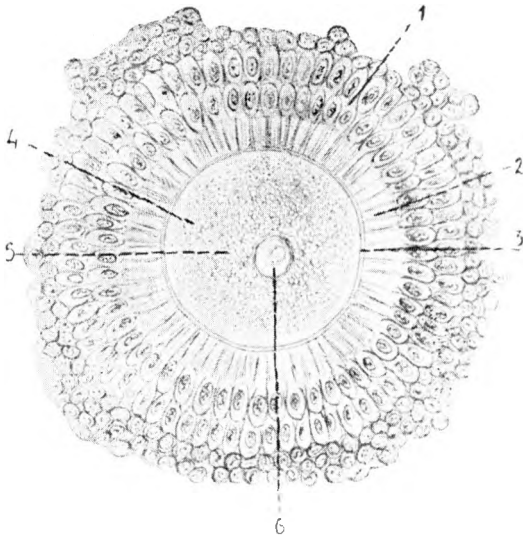


Рис. 118. Зрелое яйцо человека (по Nagel'ю).

1—Corona radiata. 2—Периферический слой zonae pellucidae, обнаруживающий радиальную исчерченность. 3—Внутренний, концентрически исчерченный слой zonae pellucidae. 4—Протоплазма яйцевой клетки. 5—Deutoplasma. 6—Vesicula germinativa (ядро яйцевой клетки) с тасула germinativa (ядрышком).

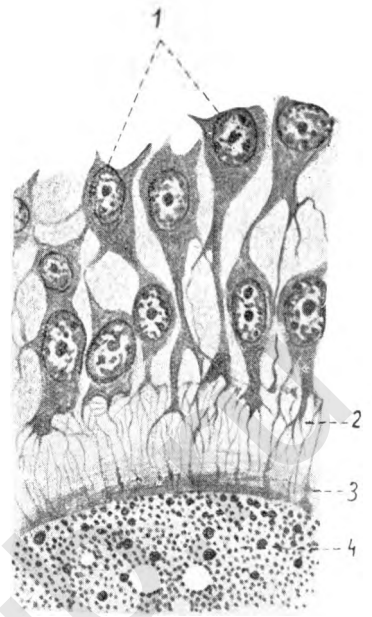


Рис. 119. Тончайшее строение zonae pellucidae (по Догелю).

1—Клетки coronae radiatae. 2—Наружный, радиально исчерченный слой zonae pellucidae. 3—Внутренний, концентрически исчерченный слой zonae pellucidae. 4—Протоплазма яйцевой клетки.



Рис. 120. Стенка атрезированного фолликула *.

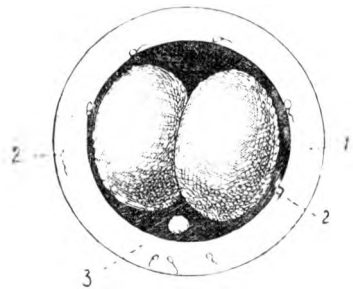


Рис. 121. Яйцо кролика, искусственно выделенное из нелопнувшего фолликула и оплодотворенное, в стадии 2 шаров (правильная сегментация) *.

1—Zona pellucida. 2,2—Сперматозоиды. 3—Полярное тельце.

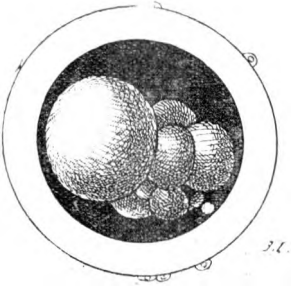


Рис. 122. Яйцо кролика, искусственно выделенное из нелопнувшего фолликула и оплодотворенное; неправильная сегментация *.

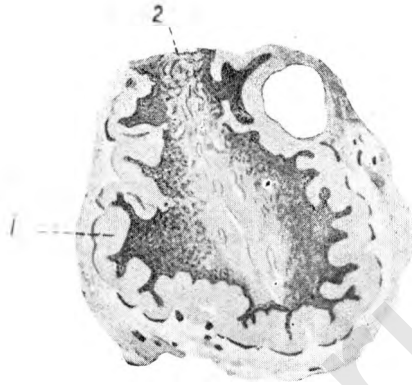


Рис. 123. Часть яичника с лежащим в ней желтым телом (по Тимофееву). 1 — Лютеиновый слой. 2 — Место разрыва Graaf'ова пузырька, закрытое кровяным сгустком.

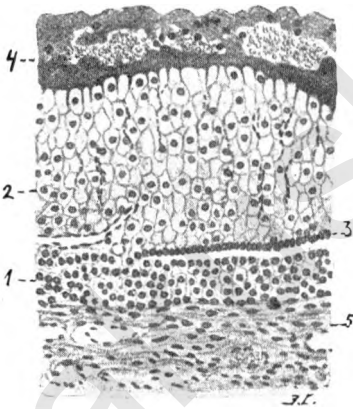


Рис. 124. Срез через стенку желтого тела (по Тимофееву).

1—Theca externa. 2—Лютеиновый слой. 3—Неизменные клетки *m. granulosa*, переходящие в лютеиновые клетки. 4—Свернувшаяся кровь, прилегающая к внутренней поверхности стенки желтого тела. 5—Theca interna.

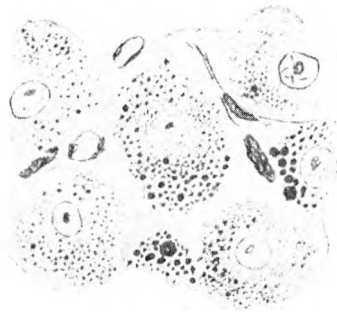


Рис. 125. Клетки желтого тела при большом увеличении (по Тимофееву).

Наполняющие протоплазму лютеиновых клеток капельки состоят большей частью из лецитина.

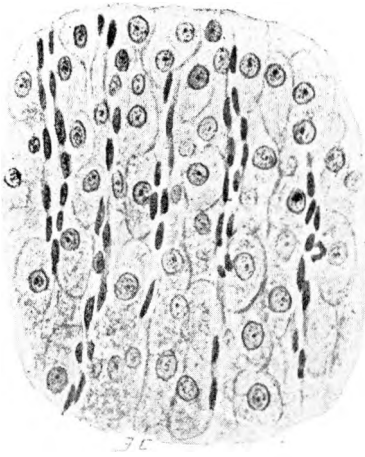


Рис. 126. Проростание лютеинового слоя желтого тела капиллярами (по Тимофееву).

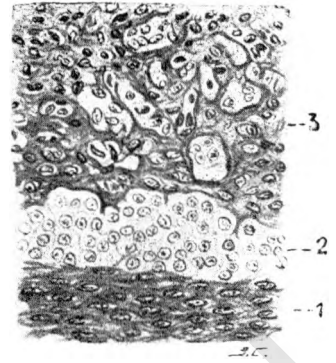


Рис. 127. Обратное развитие желтого тела (по Тимофееву).

1 — Theca externa. 2 — Theca interna. 3 — Лютеиновый слой с сильно развитой волокнистой соединительной тканью.

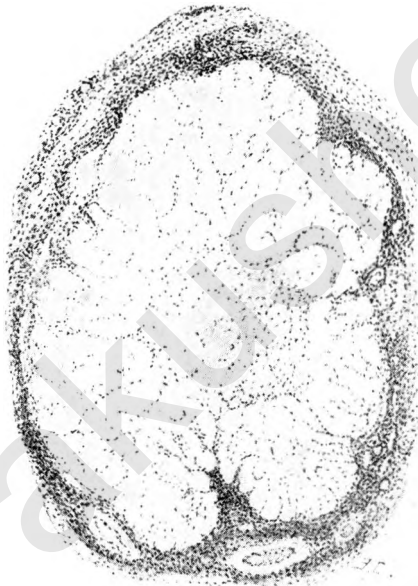


Рис. 128. Corpus albicans *.

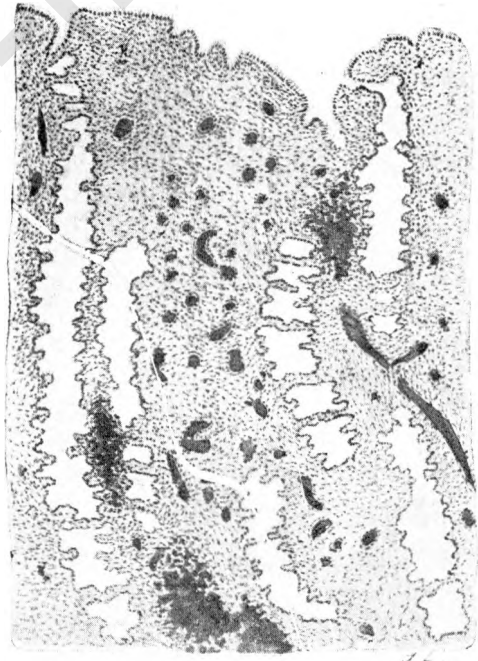


Рис. 129. Предменструальная гиперемия слизистой оболочки тела матки *.

Вся слизистая утолщена, железы расширены, имеют характерную пилообразную форму, капилляры переполнены кровью, местами наблюдаются небольшие экстравазаты, строма отечна.

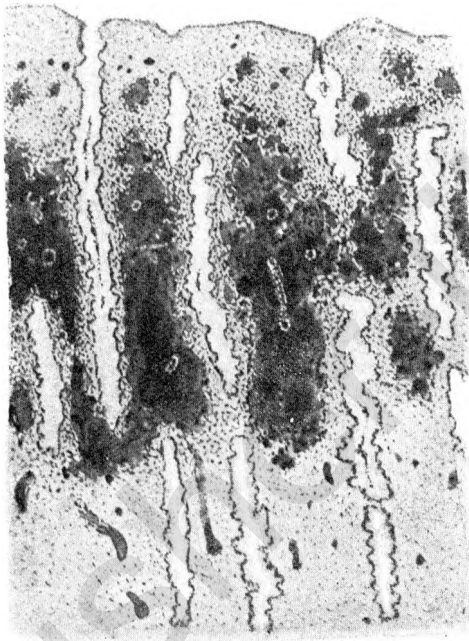


Рис. 130. Слизистая оболочка тела матки во время менструации *.

Значительные экстравазаты в толще слизистой, строма еще отечна, кровенаполнение капилляров довольно значительно, расширение желез — также, в просветах желез местами видна кровь.

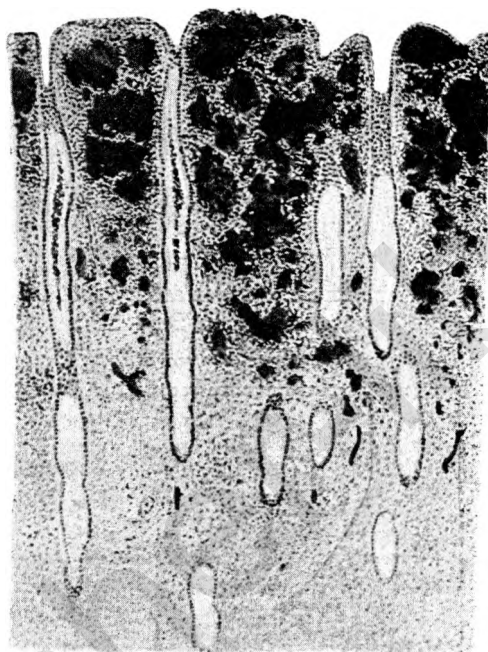


Рис. 131. Слизистая оболочка тела матки во время менструации *.

Значительные экстравазаты в поверхностных слоях мукозы (субэпителиальные гематомы), покровный эпителий местами отслоился, местами совершенно отторгнулся, и кровь изливается в полость матки, железы представляются спавшимися, довольно узкими и прямыми, отек стромы незначителен, капилляры узки.

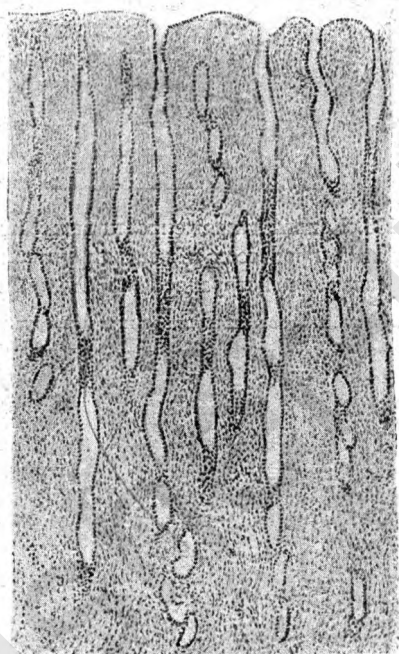


Рис. 132. Слизистая оболочка тела матки после менструации*.

Покровный эпителий регенерировался, железы сближены между собою, узки, имеют прямой ход, строма свободна от отека и кровоизлияний, капилляры сужены.

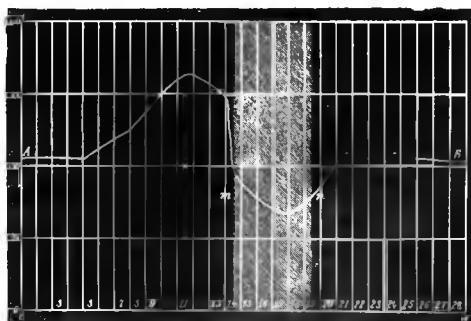


Рис. 133. Кривая напряженности важнейших жизненных процессов в женском организме в связи с менструацией (по *Отту*).

Часть кривой *тп* соответствует времени менструации.

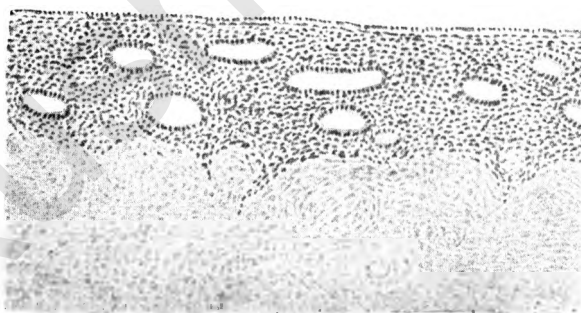


Рис. 134. Слизистая оболочка тела матки у женщины в климактерическом возрасте *.